

iSALE 講習会

配布テキスト

-実践編-

iSALE 講習会実行委員会

講師一覧

2021 年度

黒澤 耕介	千葉工業大学 惑星探査研究センター
末次 竜	大島商船高等専門学校
鳶生 有理	宇宙航空研究開発機構
伊藤 孝士	国立天文台天文シミュレーションプロジェクト

2020 年度

黒澤 耕介	千葉工業大学 惑星探査研究センター
末次 竜	大島商船高等専門学校
脇田 茂	Purdue University
伊藤 孝士	国立天文台天文シミュレーションプロジェクト

編集履歴

2020 5/30	第 1 版作成	黒澤耕介
2020 7/13	2020 年度版確定	黒澤耕介
2021 5/27	2021 年度版作成	黒澤耕介
2021 6/2	目次の自動生成	鳶生有理
2021 9/9	2021 年度版確定	黒澤耕介

まえがき

本テキストは iSALE 講習会において参加者本人が iSALE 計算を実践するための手引として作成されたものである。座学講義編と同様に iSALE-Dellen manual [Collins et al., 2016]を補足するという指針で作成されているので, iSALE-Dellen manual と一緒に読み進めることをおすすめする。前半は iSALE の入力ファイルの内容と基本操作方法について解説する。後半は今年度の講習会の課題として設定した、いくつかの課題について解説する。これらの課題をこなせるようになれば、自身で iSALE を用いた研究を進めていくことができるようになるであろ

う. 誤植など発見された場合は(isale-developers-jp@perc.it-chiba.ac.jp)まで連絡をいただけると幸いである.

2021年5月27日
黒澤 耕介

目次

1.	国立天文台 CfCA の共同利用計算機への接続方法.....	5
2.	ISALE 関連ファイル, 実行方法, サーバ利用規則	10
2.1.	ISALE の実行	11
2.2.	配布ファイル ISALE-WORK/DEMO2D の中身	13
2.3.	CfCA 共同利用計算機の構成	16
3.	ISALE の 2 つの入力ファイル.....	20
3.1.	ASTEROID.INP.....	20
3.2.	MATERIAL.INP	33
3.3.	ISALE 開発チームによる例題	37
4.	ISALE 計算実践編 -初級-.....	41
4.1.	ELEMENTARY2D 準備	41
4.2.	ISALE の出力ファイル	42
4.3.	PYSALEPLOT 概要	45
4.4.	ASTEROID.INP & MATERIAL.INP の編集 & 描画	51
5.	ISALE 計算実践編 -中級-.....	60
5.1.	特定のトレーサの位置座標をスナップショット中に追加する.....	60
5.2.	特定の条件を満たすトレーサ粒子群をスナップショット中に追加する.....	61
5.3.	特定のトレーサの流跡線をスナップショット中に追加する.....	64
5.4.	特定のトレーサの熱力学経路を描画する.....	66
5.5.	特定の条件を満たすトレーサ粒子の総質量の時間変化を調べる.....	68
6.	宿題.....	70
7.	謝辞.....	73
	補遺	74
A.	ファイル転送ソフトウェア CYBERDUCK.....	74
B.	PYTHON 用対話型開発環境 JUPYTERLAB	75
	参考になる WEBSITES	78
	参考文献.....	79

1. 国立天文台 CfCA の共同利用計算機への接続方法

まずは自然科学研究機構国立天文台天文シミュレーションプロジェクト(Center for Computational Astrophysics, 以下では CfCA と略記する)の共同利用計算機にログインしよう。今回の講習会では「`grd0.cfca.nao.ac.jp`」という計算サーバと「`an00.cfca.nao.ac.jp`」, 「`an01.cfca.nao.ac.jp`」という解析サーバを使用する(これらはいずれも今回の講習会向けに準備された専用の機材であり, 通常の利用者はログインできないことに注意されたい)。国立天文台 CfCA の共同利用計算機の利用には CfCA が運用する「HPC ネットワーク」に VPN (Virtual Private Network, ただし SSL-VPN のみ)を用いて接続する必要がある。まずは VPN 接続のためのソフトウェア「Cisco Anyconnect Secure Mobility Client」を整備しよう。各環境(Mac OS X, Windows, Linux)における詳細手順は

<https://www.cfca.nao.ac.jp/node/78>

に記述されている。上記のページに記された内容と重なる部分が多いが, 以下では本講習会の受講者向けに改めて接続方法をまとめる。この先の作業では以下 2 種類のパスワードが必要になるので, 手元に準備しておこう。

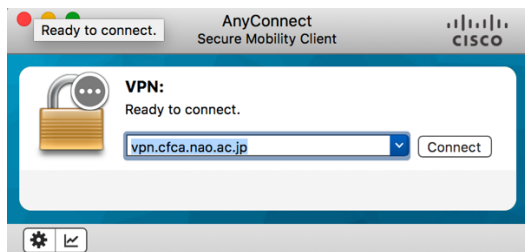
1. VPN 接続用パスワード

CfCA のウェブアカウントにログインした際に現れるページに表示されている。なおこの VPN 接続用パスワードは固定されており, 受講者を含むユーザはこれを変更できない。

2. NIS の初期パスワード

CfCA の機材運用担当者から届いた Slack のダイレクトメッセージまたは電子メールに記載されているパスワードである。VPN 接続の確立後、実際に iSAGE を動かす機材(`grd0`, `an00`, `an01`)に ssh ログインする際に必要となる。なおこれは初回ログイン時に必ず変更すること（後述）。

以下では macOS 上の実行例を示すが、他の OS でも同様である。まず自分の PC 上で Cisco Anyconnect Secure Mobility Client を立ち上げると以下のウィンドウが現れるだろう。



ここには CfCA の VPN サーバ（入り口）となる機材の名前

vpn.cfca.nao.ac.jp

を入力し、「Connect」をクリックする。するともう一つのウィンドウが現れる。
ここでは Username と Password の入力を求められる。



- Username には各人に配布されたアカウント名 isaleXX (XX は 2 行の数字。isale01, isale02, ..., isale22 など)を入力

- Password には各人に配布された VPN パスワード（12 行の文字列）を入力

Username と Password を入力したら、OK をクリックする。そして下記する画面に変われば、国立天文台 CfCA への VPN 接続は確立したことになる。



VPN 接続が確立したら、引き続いて今回の講習で用いる計算サーバ「grd0」にログインする。まずは何らかの端末アプリを立ち上げる。macOS であれば「アプリケーション」→「その他」→「ターミナル」などである。その上で、

```
$ ssh -CY isale00@grd0.cfca.nao.ac.jp
```

を入力する¹。上記の例にあるアカウント名 isale00 は各自の ID で置き換えること。すると、

```
$ isale00@grd0.cfca.nao.ac.jp's password:
```

とパスワードを求められるので、各人へ Slack のダイレクトメッセージまたは電子メールで届いた NIS の初期パスワードを入力する。

```
Last login: Fri Jun  4 12:25:48 2021 from anoo.cfca.nao.ac.jp
--- Maintenance schedule (date/time in JST)
--- XC50, Analysis servers, fileservers, GRAPE and GPU:
---           2021/06/07 09:00 --> 17:00.
```

¹ \$はコマンドプロンプトのつもりです。この後の文字列(ssh ...以降)を入力してください。以下同様です。なおオプション -CY の意味についてはご自分で man ssh などを行なって調べてください。 -C-Y と書いても同じ結果となります。

```
-- General-purpose PCs will remain in operation  
-- Web service:  
--- 2021/06/14 09:00 --> 2021/06/15 17:00.  
[isaleoo@grdo ~]$
```

上記のように表示されれば `grd0` へのログインは成功している。初回ログイン時には

`$ yppasswd`

と入力し、与えられた初期の NIS パスワードを直ちに変更すること²。

続いて図の描画に必要な環境が整っていることを確認しよう。`gnuplot` を `load` し簡単な図を描画してみる。なおこのためには各自の PC が `X11` に対応した環境を備えていることが必須である (macOS なら XQuartz, Windows なら MobaXterm, Cygwin/X など)。

```
[isaleoo@grdo ~]$ module load gnuplot
```

```
[isaleoo@grdo ~]$ gnuplot
```

```
GNUPLOT  
Version 5.2 patchlevel 5      last modified 2018-10-06
```

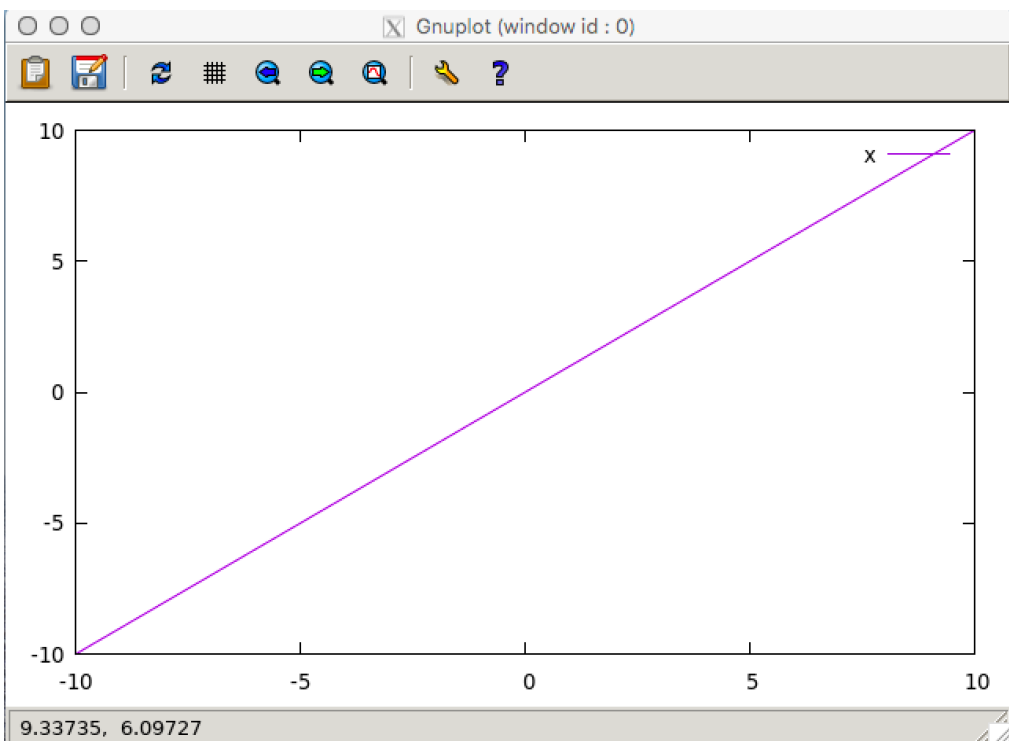
```
Copyright (C) 1986-1993, 1998, 2004, 2007-2018  
Thomas Williams, Colin Kelley and many others
```

```
gnuplot home:      http://www.gnuplot.info  
faq, bugs, etc:   type "help FAQ"  
immediate help:   type "help"  (plot window: hit 'h')
```

Terminal type is now 'wxt'

² 言うまでも無いですが、パスワード管理は個人で責任を持ってお願いします。

```
gnuplot> plot x
```



このような画面が表示されれば, X11 に対応した描画環境が整っている.

以上で, 計算サーバへのログインが完了し, iSALE 計算を行う準備が完了した.

なお, 利用可能なディスク容量には上限(1 TB)がある. リミット超過しそうな段階で発出される警告メールを受け取るため, /home/iSALEXX/ 下に .forward ファイルを作成し, 自身のメールアドレスを記載しておこう. 好みのエディタを開きメールアドレスを入力し, 「.forward」という名前で保存すれば OK である.

emacs の場合:

```
$ emacs -nw .forward
```

vi の場合:

```
$ vi .forward
```

CfCA の共同利用計算機のディスク環境に関する詳しい説明は以下を参照.

<https://www.cfca.nao.ac.jp/node/22#disk>

2. iSALE 関連ファイル, 実行方法, サーバ利用規則

本章でははじめにログインに成功したら iSALE 関連ファイルを準備する手順を説明する。ログインしたディレクトリで「ls」コマンドを打ってみても初期状態ではファイルは何も置かれていない。iSALE 関連ファイルは~isale00/school2021/の中に置かれている。まずはiSALE関連ファイルを現在のディレクトリに展開しよう。コマンドラインに以下を入力する。

```
$ cd  
$ tar xvpf ~isale00/school2021/isale-work-2021.tar.gz  
$ chgrp -R isale ./isale-work
```

すると、~isale00/school2021/に置かれているisale-work-2021.tar.gzが解凍される。
~1秒ほどで完了するはずである。chgrpコマンドで上記ファイルをグループ「isale」に属するユーザのみが閲覧できるようにしている。

```
$ ls  
isale-work
```

となればOKである。ディレクトリisale-work中にiSALE関連ファイルが納められている。これはiSALE [Amsden et al., 1980; Ivanov et al., 1997; Wünnemann et al., 2006]の最新版³である「iSALE-Dellen」の実行ファイルと入力ファイルをまとめたものである。なお, isale-work.tar.gz及びその中身の次配布は禁止である⁴。続いて作られたisale-workのアクセス権限を設定する。

```
$ chmod 750 isale-work
```

とすることで、自分とグループ「isale」のメンバがアクセスできる設定となる。

³ Stable release の最新版です。開発版ではありません。

⁴ 計算結果はその限りではありません。

本章では iSALE 計算に必要なファイル群について解説し, iSALE の実行方法を解説する. 2.1 節ではとりあえず iSALE を走らせてみることにしよう. 続く 2.2 節で配布された iSALE-Dellen の中身について解説する. 2.3 節では CfCA 共同利用計算機の構成について解説する.

2.1. iSALE の実行

まずは iSALE 開発者らによってデモ用に用意されている例題「demo2D」を走らせてみよう.

```
$ cd isale-work/demo2D
```

でディレクトリ demo2D へ移動する. ディレクトリの中身を確認してみよう.

```
$ ls -F
Plotting/  asteroid.inp  eos@  iSALE2D@  iSALEMat@  iSALEPar@  
isale_run.sh  isale_run.sh.sample@  material.inp  parameters.db
```

となる. なお上記の例では ls にオプション -F を付け, ディレクトリ名がスラッシュ / 付きで, symbolic link は@付きで表示されるようにしている.

```
$ qsub -N ${PWD##*/} isale_run.sh
```

と入力すればプログラム iSALE2D が実行される. 終了まで数分かかる. この間に「qstat」コマンドを入力すると自身が投入した Job が走っているかどうかを確認できる. ここで -N \${PWD##*/} は Job 名を現在のディレクトリに指定するオプションである.

```
$ qstat
Job id          Name          User          Time Use S Queue
-----          -----
66306.grd0      ldemo2D      isale01      00:00:00 R long
```

のように自分の講習会 ID に Job ID(この例では 66306)が付されていれば, Job が流れているということになる。「qstat」コマンドで上記の Job ID が消えたときは計算が終了したことを示している.qstat コマンドの詳細については CfCA が提供する計算サーバの利用手引書にまとめられているので, 参照のこと.

<https://www.cfca.nao.ac.jp/node/165#management>

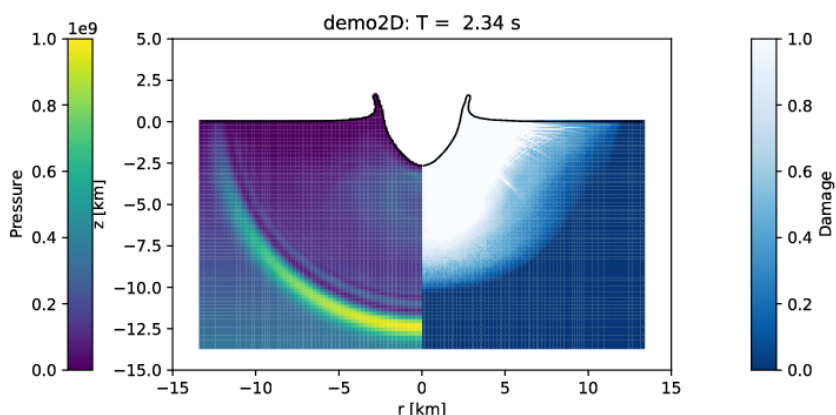
この状態で「ls」で確認すると「Plots」と「demo2D」という新たなディレクトリが作成されているはずである。「demo2D」には今走らせた iSALE の計算出力が, 「Plots」には計算結果が描画された画像ファイルが格納されている。「Plots」の中身を確認しよう.

```
$ ls ./Plots
```

と打つと, DamPre-XXXXXX.png and .eps という画像が全部で 40 枚できているはずである. 試しに 1 枚の図を開いてみよう.

```
$ display -resize 20% ./Plots/DamPre-00190.png
```

と入力し,



のような図が出てくれば計算&描画が正しく行われている⁵.

⁵ -resize オプションの後に置く数値を増やせば表示される画像の大きさも大きくなるが (例. -resize 50%), データの転送量も増えるので, 描画に長い時間が掛かるようになる.

2.2. 配布ファイル iSALE-work/demo2D の中身

前節で iSALE2D を走らせることができるようになった。本節では iSALE-work ディレクトリの中身の中で iSALE 計算に特に必要なものを説明する。前節で iSALE2D を実行するために移動した「demo2D」の中身がエンドユーザにとって必要なファイル群である。以下では「demo2D」の中身を説明する。なお、「demo2D」は./share/examples/demo2D と同一である。

2.2.1. isale_run.sh (ファイル)

計算サーバの計算ノードへ Job を投げるための命令ファイルである。

```
$ less isale_run.sh
```

と入力すると、ファイルの中を読むことができる。この中で、

```
time ./iSALE2D -i asteroid.inp -M material.inp
```

とある部分が iSALE2D の実行命令である。-i, -M オプションによって 2 つの入力ファイル「asteroid.inp」, 「material.inp」を読み込んでいる。冒頭の time は iSALE2D の実行時間を測定・出力するためのコマンドである。この 2 つの入力ファイルを編集することによって好みの計算を実施することができる。この 2 つのファイルの内容については 3 章で解説する。iSALE 実行命令に続く

```
python ./Plotting/plot.py
```

は Python スクリプト plot.py の実行命令である。Python で書かれた「plot.py」の中で pySALEPlot を読み込んでいる。

q を入力して「isale_run.sh」を閉じ、再び「ls」コマンドで「demo2D」ディレクトリに置かれたファイル群をみると、

iSALE 実行ファイル:

iSALE2D

iSALE 入力ファイル:

asteroid.inp, material.inp

計算結果(ディレクトリ): demo2D, Plots
python スクリプト群(ディレクトリ) Plotting

が含まれていることを確認できる。「isale_run.sh」を編集して、読み込ませる 2 つの iSALE 入力ファイルと実行する python スクリプトを指定すること、が iSALE で計算を実行することの中身である。

2.2.2. Log.out, Log.err (ファイル)

Log.out は先程実行した iSALE2D の標準出力を格納したテキストファイルである。Log.err には標準エラー出力が書かれている。「qsub」コマンドで「isale_run.sh」を実行した後には両ファイルを確認する癖をつけるとよい。ファイル「Log.out」の中に

SETTINGS FINISHED..... START JOB

という行があれば入力ファイルが正常に処理され、計算が始まったことを意味する。入力ファイルの編集に失敗すると、計算は実行されない。この場合は「qstat」で確認しても自分の Job ID が見つからない。ファイル Log.out, Log.err の中にエラーが書き込まれているので、内容を確認し入力ファイル「asteroid.inp」, 「material.inp」を適切に修正する必要がある。pySALEPlot による解析でも実行エラーは Log.out, Log.err に書き込まれる。この場合は Python スクリプトの py ファイルを修正する。計算が正常に終了している場合は計算にかかった時間が記録されている。この情報は入力ファイルを編集し、異なる計算を実施するときに計算終了までにかかる実時間を推定するのに役立つ。

2.2.3. eos (ディレクトリ)

ここには状態方程式への入力ファイル群が格納されている。「ls」コマンドで中身をみてみるとよいだろう。ファイルの名前が物質を表す。入力ファイルの名前は 7 文字でなければいけないという規則がある。ファイル名の拡張子.tillo は Tillotson EOS への入力パラメータ,.aneos は ANEOS で計算された EOS table,.input は ANEOS への入力パラメータを意味する。自分で新たに状態方程式の入力ファ

イルを作成した場合はこのディレクトリに置くことによって、「material.inp」から呼び出すことができる。3章(3.2節)で解説する。

2.2.4. parameters.db (ファイル)

iSALE の入力ファイルのパラメータの許容値を規定するファイル。すべての入力パラメータの説明と設定可能範囲がこの中に記入されているので、manual の一部と考えるとよい。

本章の最後に講習会では事前に講師側で設定してある PYTHONPATH の設定について説明しておく。今回の講習会期間中は必要ではないが、終了後に CfCA の利用申請を行い、iSALE 計算を継続していく際には必要となるので覚えておこう。座学講義編で解説したように iSALE の計算出力は pySALEPlot を用いて解析、描画を行う。Python で pySALEPlot を実行する際に必要なファイル群は isale-work/lib に置かれているため PYTHONPATH をこのディレクトリに指定しておく必要がある。

```
$ pushd isale-work/lib
```

で isale-work/lib に移動し、

```
$ export PYTHONPATH=`pwd`"
```

とすることでパスを通すことができる。

```
$ echo ${PYTHONPATH}  
/home/isaleXX/isale-work/lib
```

と応答があれば成功である。上記の echo コマンドで何も応答がない、もしくは違うディレクトリが返って来た場合には PYTHONPATH が正しく通っておらず、pySALEPlot による解析&描画を行うことができないため、原因を追求し、解決すること。この設定は CfCA 計算機からログアウトすると失われてしまうため、毎回行う必要がある。もし CfCA の計算サーバ、解析サーバで iSALE 計算以外で

`python` を使用しない場合は、環境変数を設定し、ログイン時に自動で `PYTHONPATH` が通るようにしておくと便利である。環境変数は自身のホームディレクトリの `.bash_profile` に書かれている。お好みのエディタで `.bash_profile` を開き以下の内容を入力し、保存しておく。

```
if [ "${PYTHONPATH: -}" = "" ]; then
    PYTHONPATH="$HOME/isale-work/lib"
    export PYTHONPATH
else
    PYTHONPATH="$HOME/isale-work/lib:$PYTHONPATH"
    export PYTHONPATH
fi
```

これで毎回のログイン時に自動で `PYTHONPATH` が `HOME/isale-work/lib` に通るようになる。

2.3. CfCA 共同利用計算機の構成

本章ではこの講習会で受講者が使用する 2 種類のサーバとその用途について解説する。1 つ目が計算サーバ、2 つ目が解析サーバである。両者の使い分けとしては、まず利用者にとって比較的に自由度の高い解析サーバで `pySALEPlot` 用の `python` スクリプトを試行錯誤を行いながら完成させ、その後に計算サーバで `Job` を投入するという手順がおすすめである。

なお 今回の講習会アカウント(isaleXX)で計算サーバ・解析サーバが利用できるのは2021年7月16日(金)までに限られる。講習で使ったファイルや計算結果はこの期日よりも前にどこかに退避する必要がある。

この講習会が終了した後にも `iSALE` を使いたい場合には、一般利用者として CfCA 共同利用計算機の利用申請を行う必要がある。申請書はその内容の学術性や実行可能性を審査され、採択されれば晴れて一般利用者として登録される。なお一般利用者のアカウント有効期限は当該年度末なので、利用申請は毎年度行う必要がある。

2.3.1. 計算サーバ

これは最初にログインした機材のことである。今回の講習会では専用の計算サーバである「`grd0`」にログインする⁶。計算サーバは「ログインノード」と「計算ノード群」から構成されている。¹章でログインしたのは計算サーバのログインノードである。ユーザはログインノードにログインし、

```
$ qsub isale_run.sh
```

によって計算ノード群へJobを投入するという流れになっている。`isale_run.sh`の冒頭のヘッダ 10 数行は計算ノード群へ投入する際の命令である。なお、ユーザは計算ノード群にはログインできないし、ログインする必要もない。

計算サーバ(のログインノード。この講習会では `grd0` のこと)で行えるのは主に以下の操作である。

- (a). `qsub isale_run.sh` による Job 投入 (`iSALE2D`, `pySALEPlot`)
- (b). 好みのエディタによるファイル編集
- (c). 他サイトへのファイルの送受信 (`scp`などを利用)

なお計算サーバのコマンドライン上で `iSALE2D` や `python` を直接実行することは禁止されているので絶対に行わないこと。これらの実行は必ず `qsub` コマンドを使った PBS ジョブとして投入することが定められている⁷。図 2.3.1.1 に上記説明を図示する。

⁶ 講習会終了後に一般利用者として CfCA に利用申請を提出し、審査を通過すると別機材「`m000`」にログインできるようになります。`m000` はホームディレクトリなどを `grd0` と共有していますが、`m000` が"本物"の計算サーバです。使える資源の質・量とも本講習会で使われるものより上です。なお一般利用者は講習専用機材 `grd0` にはログインできません。

⁷ 今回の講習会専用機 `grd0` にはこの規約は適用されないものの、将来的に一般利用者として計算サーバを使う日のことを考えると今からこの規約に慣れておくことが望ましいです。

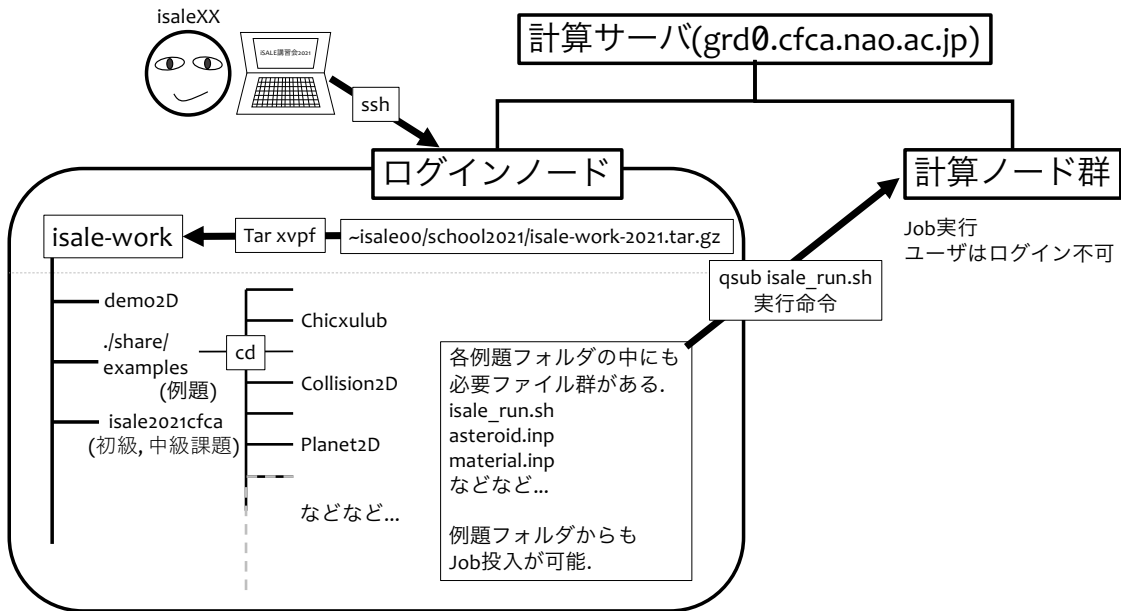


図 2.3.1.1. 本講習会における計算サーバの中の概念図.

計算サーバの詳細、及び利用規約は以下のページを参照.

<https://www.cfca.nao.ac.jp/node/157>

<https://www.cfca.nao.ac.jp/node/165#regulation>

2.3.2. 解析サーバ

解析サーバは計算結果を解析するためのサーバ群として用意されている。 CfCA の共同利用計算機のアカウントを持つ全てのユーザが使用でき、アカウント取得と同時に解析サーバのホーム領域も提供される。なお先述したようにこの解析サーバについても今回の講習会用に専用の機材が準備されているので⁸、受講者は以下の機材にログインすることになる。新たに端末アプリを立ち上げ、

```
$ ssh -CY isale00@an00.cfca.nao.ac.jp
```

もしくは

```
$ ssh -CY isale00@an01.cfca.nao.ac.jp
```

(isale00 は自身の講習会 ID に置き換える。)

⁸ an00, an01 には一般の共同利用者はログインできません。一般的な共同利用者が使う解析サーバには別のノード名が与えられています。

と入力する。すると、再びパスワードを要求されるので、`grd0` へのログインに使ったものと同一の NIS パスワードを入力すれば解析サーバにログインできる。また計算サーバと解析サーバのホームディレクトリは共有されており、片方でのファイル複製、削除、編集といった作業はもう片方へ自動的に反映される⁹。

CfCA の規約では、解析サーバでは計算資源の 50%を超えない限りは自由度の高い利用が可能である¹⁰。Python には iPython という対話機能が実装されており、解析用 Python スクリプト作成時に有用である。iPython の利用方法については 4 章(4.3 節)で解説する。計算サーバではログインノードのコマンドライン上での iPython の利用は禁止されている。よって受講者は解析サーバで iPython を活用しつつ、解析用の Python スクリプトを作成するのがよいであろう。また JupyterLab, Jupyter Notebook のような対話型開発環境も利用可能である。

解析サーバの詳細、及び利用規約は以下のページを参照のこと。

<https://www.cfca.nao.ac.jp/node/22>

<https://www.cfca.nao.ac.jp/node/22#policy>

⁹ 従ってバックアップとしての利用はできないことに注意しましょう。解析サーバで消してしまったファイルは計算サーバからも消えます。必要な場合は

`$ cp -pr hoge hoge_bk`

など適当に複製をとり、復元できるようにしておきましょう。

¹⁰ 今回の講習会専用機 `an00, an01` にはこの規約は適用されないものの、将来的に一般利用者として解析サーバを使う日を考えると今からこの規約に慣れておくことが望ましいです。

3. iSALE の 2 つの入力ファイル

2.2.1 項で iSALE2D の実行ファイルに読み込ませる 2 つの入力ファイル、「asteroid.inp」, 「material.inp」があることを述べた。この 2 つのファイルを編集することが、自分で iSALE 研究を進めることである、と言える。本章ではこの 2 つの入力ファイルの読み方を解説する。3.1 節で asteroid.inp, 3.2 節で material.inp について述べる。変数については iSALE-Dellen manual [Collins et al., 2016, Section 3], もしくは parameters.db に詳細が記載されているので、そちらも合わせて熟読することを薦める。3.3 節では「examples」ディレクトリの中身の活用法について述べる。数値は全て MKS 単位系である。なお 入力ファイルの編集時に tab を挿入するとエラーとなり、計算は実行されない。スペースを挿入すること。

3.1. asteroid.inp

これは一言でいうと数値計算条件を設定するファイルである。

- 座標系選択(デカルト or 円柱座標)
- 計算領域、格子サイズ
- 計算終了時間、ファイルへの書き出し間隔
- グローバル変数(重力加速度、地表面温度)
- 衝突天体(形状、サイズ、速度、温度構造)
- 標的天体(形状、サイズ、速度、温度構造)
- 書き出す物理量
- トレーサ粒子(挿入の有無、挿入間隔、書き出す物理量)

などを入力する。asteroid.inp の中身を読んでいこう。ディレクトリ `~/isale-work/demo2D` に移動し、

```
$ less asteroid.inp
```

で asteroid.inp の中身¹¹を読むことができる。冒頭に 10 数行のヘッダがあり、7つのブロックがある。各ブロックは 3 列の構成になっている。左列は iSALE に渡される変数名、中列はその変数の一言説明、右列が入力する値(文字列も含む)である。以下、ヘッダと 7 つのブロックについてみていく。なお、本節では円柱座標系を選択していることを前提として説明する。また Ac. Fluid. Parameters のブロックは音響流動モデル(Acoustic fluidization)に関するパラメータとなっているが、本講習会では触れない。

3.1.1. ヘッダ

ヘッダの 10 数行にはコメントアウトの方法が書かれている。各行の先頭に「-」もしくは「!」と入力すると、その行はコメントアウトされ、実行ファイル(iSALE2D)に無視される。両者の違いは backup ファイルへの書き込みの有無である。iSALE では計算を実行すると自動的に入力ファイルが複製され「INFO」ディレクトリに格納される(4.2 節参照)。「-」でコメントアウトしたときは backup ファイルにも同様に書き込まれるが、「!」でコメントアウトすると backup ファイルからその行が削除されるという違いがある。

3.1.2. General Model Info

計算出力の格納先(ディレクトリ)を指定する。

VERSION	<u>DO NOT MODIFY</u>	: 4.1
DIMENSION	dimension of input file	: 2
PATH	Data file path	: ./
MODEL	Modelname	: demo2D

VERSION と DIMENSION は編集する必要はない。下 2 つの変数 PATH がディレクトリのパスを指定し、MODEL で名前を指定する。この例だと、現在いるディレクトリの中に「demo2D」というディレクトリが生成され、その中に iSALE の結果群が格納される。

¹¹ ~/isale-work/demo2D に置かれている asteroid.inp は ~/isale-work/share/examples/demo2D/asteroid.inp と同一です。iSALE の典型的な計算例として様々な物理モデルを同時に使用する計算となっています。デモ用に計算が数分で終わるようになっています。

3.1.3. Mesh Geometry Parameters

計算格子(計算領域, サイズ)を設定する. iSALE では高解像度計算用の格子(High-resolution zone)と計算領域拡張用の格子(Extension zone)の 2 種類の格子を配置できる. 数値衝突計算は多くの場合, 点源を起点とする運動を解くので, 流体計算で頻繁に活用される周期境界条件を採用することができない. 計算領域の端で物理量をどのように計算するか, は悩ましい問題となる. 境界条件をどのようにとっても現実では起こり得ない反射波(圧縮波, 膨張波のどちらもあり得る)が, 流体運動に影響を与えてしまう可能性がある. ところが全格子数 N_{grid} を増やすと計算にかかる時間は $>O(N_{\text{grid}}^2)$ で増えてしまう. これを解決し, 少ない格子数で計算領域を拡張するのが Extension zone である.

GRIDH	horizontal cells	: 0	: 80	: 32
GRIDV	vertical cells	: 35	: 90	: 15

GRIDH, GRIDV はそれぞれ動径方向(対称軸に垂直な方向)と鉛直方向(対称軸に平行な方向)に張る格子数である. 3 つの値を入力する. 真ん中の数字が High-resolution zone, 左右の数字はそれぞれ負の向き, 正の向きに配置する Extension zone の格子数に対応する. GRIDH の左側の数字(0)はデカルト座標を選択しているときのみ有効で, 円柱座標系では 0 にしなければならない.

GRIDEXT	ext. factor	: 1.03d0
GRIDSPC	grid spacing	: 100.0d0
GRIDSPCM	max. grid spacing	: -20.0d0

GRIDSPC は High-resolution zone に配置する格子の実空間における長さ(1 格子が何 m に対応するか)である. Extension zone に配置する格子のサイズ $L_{\text{ext},i}$ は

$$L_{\text{ext},i} = \min(\text{GRIDEXT} \times L_{\text{ext},i-1}, \text{GRIDSPCM}) \quad (3.1.3.1)$$

となる. つまり, 公比 GRIDEXT の等比数列の格子サイズ, ただし上限の格子サイズは GRIDSPCM となる. 上記の例では GRIDSPCM は -20 となっている. 負の値は

GRIDSPC で規格化した値に対応しており、ここでは上限格子サイズを 2 km を設定していることになる。

3.1.4. Global Setup Parameters

このブロックでは iSALE の数値解法や重力の扱いや初期温度構造を決定するパラメータを入力する。

S_TYPE	setup type	: DEFAULT
--------	------------	-----------

iSALE では用途に合わせて様々な計算(地すべりや、変形実験の模擬など)を行うことができる。ここでは文字列で指定する(LANDSLIDE, DEFORM など)ことによってそれに適した計算セットアップが自動的に行われる。本講習会では一様重力場中の衝突に適した設定となる「DEFAULT」のみを使用する。その他の計算に興味のある読者は parameters.db を参考にしてほしい。

ALE_MODE	ALE modus	: EULER
----------	-----------	---------

計算中の数値解法を選択する。EULER, LAGRANGE, ALE を選択可能であるが、講義編で述べたとおり、iSALE では EULER 法を中心として整備が進められている。本講習会では ALE_MODE = EULER のみを使用する。

T_SURF	Surface temp	: 293.0
DTDZSURF	Temp. grad. surf.	: 10.D-3
D_LITH	Lithosp. thickness	: 80.D3
R_PLANET	Planet radius	: 6370.0 ¹²

これらは設定した Projectile と Target 中の初期温度構造に関するパラメータである。T_SURF は表面温度、DTDZSURF は岩石圏(Lithosphere)中の温度勾配、D_LITH は岩石圏の厚み、R_PLANET は想定している惑星半径である。初期温度構造 (LAYTPROF、後述)を等温にする場合は T_SURF のみを入力すればよい。残りの 3

¹² この例では半径 6,370 m の惑星を想定しています。地球より 3 行小さい惑星です。

つは伝導や対流によって決定される温度構造を簡易的に入力するためのパラメータである¹³.

GRAV_V	gravity	:-9.81D0
GRAD_TYPE	gradient type	: DEFAULT
GRAD_DIM	gradient dimension	: 2

これらは重力場を記述する. GRAV_V は重力加速度である. 負の値は鉛直下向きを意味する. GRAD_TYPE は重力場の設定を変える.

GRAD_TYPE には

DEFAULT	(時間一定)
NONE	(無重力)
CENTRAL	(標的天体中心)
SELF	(自己重力)

のいずれかを入力する. 本講習会では DEFAULT のみを使用する. GRAD_DIM は重力加速度勾配を設定する. 格子サイズを大きくとった計算では深さ方向に重力加速度が変化することを考慮する必要がある. GRAD_DIM = 1 では鉛直方向, 2 では動径方向, 鉛直方向ともに重力加速度勾配を計算する.

3.1.5. Projectile & Target Parameters

この 2 つのブロックでは“Projectile”と“Target”に関する設定を行う. 2 つを合わせて解説する. iSALE における“Target”は設定した表面の位置より下部の計算領域全てを埋める円柱として設定される. それ以外は全て“Projectile”である.

OBJNUM	number of proj.	:1
LAYNUM	number of layers	:1

¹³ iSALE の中で熱伝導や対流熱輸送を解くわけではないことに注意してください. 均質媒体中で熱伝導, 対流熱輸送で決定される温度構造の解析解から温度構造を与えます.

OBJNUM は“Projectile”的数を設定する。図 3.1.5.1, 3.1.5.2 に設定例を示す。例えば金属核をもつ球形状微惑星同士の衝突を計算したい場合は LAYNUM=0, ONJNUM=4 と設定することになる。

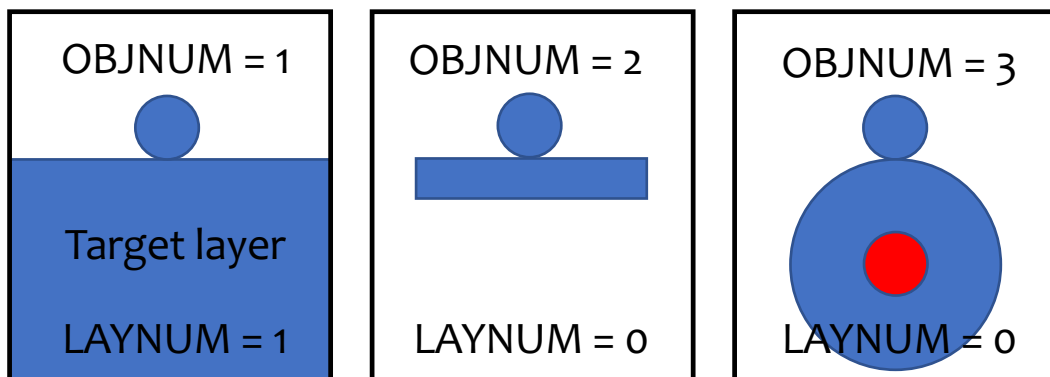


図 3.1.5.1. “Projectile”設定例と OBJNUM の関係。

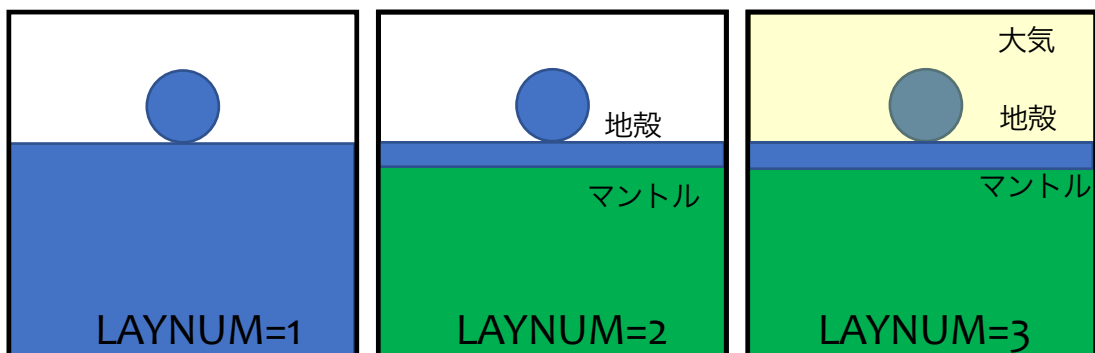


図 3.1.5.2. “Target”設定例と LAYNUM の関係。

OBJRESH ¹⁴	CPPR horizontal	: 8
OBJTYPE	object type	: SPHEROID

OBJRESH は Projectile の動径方向の半径を何格子で分割するかを規定するパラメータである。数値衝突計算の空間解像度はこの値の大小で決まる。CPPR は Cells per projectile radius の略である。OBJTYPE は Projectile の形状を規定する。

¹⁴ この例では計算時間を短くするため、CPPR の値が過剰に小さくなっています。

SPHEROID	(球)
CUBOID	(立方体)
BITMAP	(ユーザ定義)
PLATE	(動径方向全てを占める円板)
CYLINDER	(円柱)

のいずれかを入力する。使用頻度が高いのは SPHEROID と CYLINDER であろう。この例(demo2D)では動径方向の格子数しか設定していないため自動的にアスペクト比が 1 に設定される。

OBJRESV	CPPR vertical	:16
---------	---------------	-----

のように OBJRESV というパラメータを追加する¹⁵と鉛直方向の格子数を OBJRESH と独立に指定することも可能である。

OBJVEL	object velocity	:-6.5D3
--------	-----------------	---------

OBJVEL で Projectile の初期速度を設定する。負の値は鉛直下向きを意味する。従ってこの例では Projectile の初期粒子速度が鉛直下向きに 6.5 km s^{-1} となる。

OBJMAT	object material	: mygrani
LAYMAT	layer material	: mygrani

“Projectile”と“Target”的物質を選択する。次節で説明する material.inp でつけた名前と正確に合わせることで 2 つの入力ファイルを紐付ける。

OBJTPROF	object temp prof	: CONST
LAYTPROF	layer therm. prof	: COND

OBJTPROF は Projectile の LAYTPROF は Target の初期温度構造を決める。

¹⁵ OBJRESH の上か下あたりに挿入するとわかりやすいですが, asteroid.inp 中の変数の入力順序は自由です。

CONST (等温)
 COND (热伝導)
 CONDCONV (Lithosphere は热伝導, それ以深は対流热输送)
 CONDCONVCAP (基本は CONDCONV, ただし, 融点¹⁶を超えない)

のいずれかを入力する。

LAYPOS	layer position	: -85
--------	----------------	-------

LAYPOS で計算領域中の Target 表面位置を設定する。正の値は計算領域下端から数えた鉛直方向の格子数, 負の値は計算領域下端から数えた鉛直方向格子数と鉛直方向の計算領域全体の格子数の比である。例えば鉛直方向に 200 格子を設定していて, 下から 140 格子目に標的表面を配置したいときは LAYPOS = 140 or -70 と設定すればよい。

3.1.6. Time Parameters

DT	initial time increment	: 1.0D-3
DTMAX	maximum timestep	: 5.D-2

iSALE は陽解法で数値積分を実施する。時間刻み Δt を十分に細かくとする必要がある。DT で初期のタイムステップ, DTMAX でタイムステップの最大値を設定する。このとき Courant-Friedrichs-Lowy (CFL) 条件を満たしていないと十分な精度をだすことができない。CFL 条件は音速 c_s , 格子サイズ Δx , 時間刻み Δt_{CFL} を使って

$$C_s \frac{\Delta t_{CFL}}{\Delta x} < 1 \quad (3.1.6.1)$$

¹⁶ 座学講義編テキストの 4.2 節も参照。

で与えられる。iSALE では計算の各タイムステップで EOS から音速の最大値を計算しており、実際の時間刻み Δt は

$$\Delta t = \min\left(\frac{\Delta t_{CFL}}{4}, DTMAX\right) \quad (3.1.6.2)$$

となる。つまり時間刻み Δt は毎ステップで更新され、数値積分が行われる。

TEND	end time	: -10.0
------	----------	---------

TEND で計算終了時刻(計算中の時刻)を設定する。負の値は Projectile の貫入特徴時間 t_s で規格化した値に対応する。貫入特徴時間 t_s は Projectile 半径 R_p と衝突速度 v_{imp} から

$$t_s = \frac{2R_p}{v_{imp}} = \frac{2 \times OBJRESH \times GRIDSPC}{OBJVEL} \quad (3.1.6.3)$$

と計算される。この計算では R_p ($OBJRESH \times GRIDSPC$) = 800 m, v_{imp} ($OBJVEL$) = 6.5 km s⁻¹ なので、 $t_s = 0.25$ s である。計算中の時刻がその 10 倍(2.5 s)になるまで計算を行う、ということになる。従ってこの例では TEND = 2.5 = -10 である¹⁷。

DTSAVE	save interval	: -0.05
--------	---------------	---------

DTSAVE でデータ出力間隔を指定する。TEND と同様に負の値は t_s で規格化した値を表す。書き出す総ステップ数 n_{out} は

$$n_{out} = \frac{TEND}{DTSAVE} \quad (3.1.6.4)$$

¹⁷ t_s は $OBJRESH$ と $OBJVEL$ の値に応じて変化するので気をつけましょう。

となる。iSALE では n_{out} の上限が 4000 に設定¹⁸されているので注意する必要がある。それ以上に細かい出力をさせたい場合は Restart 機能を活用することになる。Restart に関しては本講習会では扱わない。必要になった場合は iSALE-Dellen manual [Collins et al., 2016, pp.18]で DUMP パラメータを調べるとよいだろう。

3.1.7. Boundary Conditions

格子法の計算では計算領域の端での差分処理をどうするか(境界条件と呼ぶ)が問題となる。このブロックでは 4 つの領域での境界条件を設定する。

BND_L	left	: FREESLIP
BND_R	right	: OUTFLOW
BND_B	bottom	: NOSLIP
BND_T	top	: OUTFLOW

境界条件には

OUTFLOW	(物質の粒子速度を保ったまま、計算から取り除く)
FREESLIP	(物質の粒子速度の接線成分は保存、直行成分を 0 にする)
NOSLIP	(物質の粒子速度を境界で 0 にする)

のいずれかを選択できる。円柱座標を選択している場合、BND_L は必ず FREESLIP に設定しなければならない。FREESLIP, NOSLIP では計算領域の端から圧縮波が反射してくる場合があり、注意が必要である。OUTFLOW では圧縮波の反射は起こらないが膨張波が伝播する。こちらも注意が必要である。また OUTFLOW では計算中の質量保存が成立しない、という問題もある。どの境界条件がよいか?については一般的な正解がないので、基本的には反射波の影響がでないように、Extension zone を広く設定するのがよい。しかし、クレータ形成完了まで計算を実行しようとすると、それが難しい場合もある。そのときは計算領域を系統的に変化させ反射波が結果にどの程度影響しているか、を評価する必要があるであろう。

¹⁸ 不用意に巨大なファイルを生成してしまわないようにする安全措置であると想像できますが、なぜこのような設定になっているのか真相は不明です。

3.1.8. Numerical Stability Parameters

人工粘性係数の大きさを設定する。人工粘性については講義編 3.2.3 項を参照してほしい。

AVIS	art. visc. linear	: 0.24D0
AVIS2	art. visc. quad.	: 1.2D0

AVIS が 1 次, AVIS2 は 2 次の項の大きさを表す。ここで入力されている値は iSALE 開発チームの推奨値であるので、特別な理由がない限りは変更しないことをおすすめする。

3.1.9. Data Saving Parameters

ここでは出力する物理量を指定する。

QUALITY Compression rate : -50

VARLIST List of variables : #Den-Pre-Tmp-Yld-Dam-Ert-Vib-YAc-PVb-VEL#

QUALITY は出力データの圧縮方法を規定する(らしい)。変更しないことが推奨¹⁹されている。VARLIST は出力する物理量を決定する。それぞれの物理量が 3 文字で定義されており、間を“-”(マイナス)でつなぎ、両端を“#”(シャープ)で囲まなければならない。

Den	Density
Tmp	Temperature
Pre	Pressure
Sie	Specific Internal Energy
Dam	Damage i.e. Total Plastic (shear) Strain
VSt	Volume strain
Alp	Distension

¹⁹ parameters.db に「Please do not change this value unless you know what you do. Changing compression algorithm or density might result in compression artifacts and, thus, affect the simulation results and post-processing quality.」と記載されています。筆者も詳細は理解していません...

Yld	Yield Strength
YAc	Strength of weakening due to Acoustic Fluidization
VEL	Velocity components (horz. and vert.; cell-centered)
Dm1	Dummy field number 1
Dm2	Dummy field number 2
C_x	Horizontal co-ordinate (needed for 2D Lagrangian calcs.)
C_y	Vertical co-ordinate (needed for 2D Lagrangian calcs.)

などを選択可能である。VARLIST に含まれていない物理量を計算後に調べたくなった場合には再計算を行うしかないので、計算前によく検討しておく必要がある。

3.1.10. Control Parameters

このブロックでは様々なオプションを設定する。

STRESS	calc_stress	:1
--------	-------------	----

STRESS は偏差応力テンソルを計算するか否かを 0 か 1 の値で指定する。STRESS=0 のときは強制的にポワソン比=0.5 となる。従って material.inp で降伏応力モデルを選択していたとしても偏差応力テンソルの計算値が 0 になるため、完全流体と等しくなる。material.inp を編集することなく、強度のありなしの効果を調べることができるので、便利である。ただし、VARLIST の出力の中には STRESS=0 ではエラーを出すもの(Dam, Vst, Yld, YAc など)がある。エラーが出たときはエラーファイルを確認し、VARLIST を適切に修正する必要がある。実はここには顕に含まれていないが自動的に入力されている Control parameters も多くある。本講習会では触れないが、興味ある方は iSALE-Dellen manual, 及び parameters.db を参考にしてほしい。

3.1.11. Tracer Particle Parameters

これまで./isale-work/demo2D/asteroid.inp の中身を解説した。この入力ファイルではトレーサ粒子は挿入されない。iSALE には Lagrangian tracer particles = 格子の流速に従って運動する質量ゼロの粒子を挿入することができる。トレーサ

粒子には格子に記録された物理量だけでは追うことができない、物質の実空間、運動量空間、及び相図の上での軌跡を記録できる。研究を進める上で使わない手はないだろう。そこで以下では asteroid.inp を編集してトレーサ粒子を挿入する方法を述べる。iSALE 開発チームが用意した例題 ~/isale-work/share/examples/Chicxulub ではトレーサ粒子は活用されている。

```
$ less ./examples/Chicxulub/asteroid.inp
```

と入力し、例題「Chicxulub」の中の入力ファイルを覗いてみよう。

Numerical Stability Parameters と Control parameters (global) の間に「Tracer Particle Parameters」のブロックがある。トレーサ粒子を挿入するには、このブロックをコピーして自分で編集している asteroid.inp にペーストすればよい。以下ではパラメータについて簡単に説明する。

TR_QUAL	integration qual.	:1
---------	-------------------	----

トレーサ粒子を挿入するか否かを設定する。`0` ならば挿入しない設定になる。

TR_SPCX	tracer spacing X	:-2.Do	:-2.Do	:-2.Do
TR_SPCV	tracer spacing Y	:-2.Do	:-2.Do	:-2.Do

トレーサ粒子を挿入する間隔を指定する。TR_SPCX は動径方向、TR_SPCV は鉛直方向である。正の値は実距離、負の値は格子数を表す。この例では 2 格子毎にトレーサ粒子を挿入することになる。なおここで数字が 3 列になっているのは「Chicxulub」は 3 種類の物質を扱う例題だからである。

TR_VAR	add. tracer fiels ²⁰	:#TrP-TrT#
--------	---------------------------------	------------

²⁰ 繰りが誤っているように見えるが、原文ママ

トレーサ粒子に記録する物理量を指定する。「3.1.9. Data Saving Parameters」の VARLIST と同様に、それぞれの物理量が 3 文字で定義されており、間を“-”でつなぎ、両端を“#”で囲まなければならない。

TrP	Peak pressure
TrT	Peak temperature
TrE	Peak specific internal energy
Trp	Pressure
Trt	Temperature
Tre	Specific internal energy
Trd	Density
TrM	Material
TrA	Distension (alpha)
TrV	Volume strain
TrS	XX and YY components of the dev. stress tensor
TrX	XX component of the dev. stress tensor
TrY	YY component of the dev. stress tensor

を選択できる。

3.2. material.inp

material.inp は使用する物質モデル(状態方程式、降伏応力、空隙圧密、熱弱化など)を設定するファイルである。material.inp の中身を読んでいこう。ディレクトリ ~/isale-work/demo2D に移動し、

```
$ less material.inp
```

で material.inp²¹を読むことができる。material.inp は 2 つのブロックで構成されている。上半分は使用するモデルの選択、下半分はそれぞれのモデルへの入力パラメータである。本節ではモデルの選択部(上ブロック)について解説する。ここで選択したモデルにはそれにあったパラメータを下ブロックに入れる必要があ

²¹ ~/isale-work/share/examples/demo2D/material.inp と同一ファイルです。

る。モデルとパラメータの組み合わせの詳細は iSALE-Dellen manual [Collins et al., 2016, Section 4]に書かれているので、そちらを参考にしてほしい。

MATNAME	Material name	: mygrani
---------	---------------	-----------

計算中の物質名である。ユーザ自身が自由に設定可能だが、半角²²英数字でぴったり 7 文字でなければならない。material.inp の MATNAME でつけた名前を asteroid.inp の OBJMAT 及び LAYMAT と対応させることによって 2 つの入力ファイルを紐付けることができる。

EOSNAME	EOS name	: granit1
EOSTYPE	EOS type	: aneos

状態方程式モデルを選択する。EOSTYPE には

tillo Tillotson EOS
aneos ANEOS

のどちらかを選択することができる。それぞれの EOS の特徴については講義編の 3.2.2 項を参照してほしい。EOSNAME は~/isale-work/share/eos の中から選択することができる。このとき拡張子に気をつける必要がある。Tillotson EOS のパラメータは拡張子.tillo, ANEOS table は拡張子.aneos である。

STRMOD	Strength model :	ROCK
--------	------------------	------

降伏応力モデルを選択する。降伏応力モデルについては講義編の 4.1 節を参照してほしい。STRMOD には

ROCK - Pressure- and damage-dependent strength model for rock-like materials.
DRPR - Drucker-Prager: Linear pressure-dependent strength model for granular materials.
LUNDI - Lundborg intact: Non-linear pressure-dependent strength model for intact rock.

²² 1 バイトの ASCII

LUNDD	- Lundborg damaged: Non-linear pressure-dependent strength model for damaged rock.
VNMS	- Von Mises: Constant yield-strength model for ductile materials.
JNCK	- Johnson and Cook: Strain and strain-rate dependent strength model for metals.
LIQU	- Liquid: Newtonian fluid model
HYDRO	- Hydrodynamic: Inviscid fluid model

を選択することができる。使用頻度が高いと思われる、ROCK, DRPR, JNCK, HYDRO については講義編 4.1 節で言及した。ここではそれ以外の物質モデルについて簡単に言及する。LUNDI, LUNDD は ROCK model と完全互換であるため、ほぼ使う機会はないと思われる。VNMS model は降伏応力を定数として与えるモデルであり、延性物質の降伏挙動の近似として使われることがある。またいわゆる π -group scaling law [e.g., Holsapple and Schmidt, 1982] の π_3 中の強度 Y は定数として扱われることが多い [e.g., Suzuki et al., 2012]。LIQU は粘性が効く流体 (Newtonian fluid) を表すモデルである。粘性流体の偏差応力テンソル S_{ij} は歪速度 $\dot{\epsilon}_{ij}$ を用いて、

$$S_{ij} = 2\eta \dot{\epsilon}_{ij} \quad (3.2.1)$$

となる。ここで η は粘性率である。

DAMMOD	Damage model	: COLLINS
--------	--------------	-----------

DAMMOD は STRMOD=ROCK のときに有効になる。Damage parameter D の計算法を選択する。

NONE	- No damage model; material remains intact.
SIMPLE	- Shear failure model with constant failure strain.
IVANOV	- Shear failure model with pressure-dependent failure strain.
COLLINS	- Combined shear and tensile failure model with brittle, semi-brittle and ductile shear failure regimes.

のいずれかを選択する。DAMMOD=NONEとした場合は塑性歪が蓄積して強度が下がる効果を取り入れられないので注意が必要である。なお DAMMOD=NONEのとき ROCK model は LUNDI, LUNDD と同一である。

ACFL Acoustic fluidisation : BLOCK

音響流動モデル(Acoustic fluidization model)を選択する。このモデルは一言で言うならば、応力依存の粘性を導入するモデルである。もともと月のクレータでよく知られていた Simple crater から Complex crater への遷移を説明するために導入された [e.g., Melosh, 1979]。

NONE	No acoustic fluidization of the material.
BLOCK	Simple block-oscillation model.
MELOSH	Full Melosh (1979) model of acoustic fluidization.

のいずれかを選択できる。本講習会では扱わない。

PORMOD Porosity model : NONE

無限小空隙圧密モデルを導入するか否かを選択する。

NONE	No microscopic porosity
WUNNEMA	with microscopic porosity

のどちらかを選択する。

THSOFT Thermal softening : OHNAKA

熱弱化モデルを選択する。講義編 4.1.4 項、及び 4.2 節を参照して欲しい。

NONE	No thermal softening.
OHNAKA	Smooth hyperbolic tangent function of temperature. For use with all strength models except JNCK.

JNCK Polynomial function of temperature.
For use with Johnson and Cook (JNCK) strength model.

のいずれかを選択可能である。

LDWEAK Low density weakening : POLY

流体計算では蒸発するほどには温度が上がっていながらも密度が下がる。標準密度よりも密度が低くなることがある。これは設定した格子サイズに対して細かい構造の物質(jetting や spallation で生じた高速放出物ではよくみられる)が格子間を移動すると、周囲の空隙と平均化されて人工的に低密度になってしまう場合があることが原因である。実在物質であれば破壊、あるいは液滴分裂が起こっていることに相当するが、現時点の iSALE ではそのような物理を解いていない。このような物質は強度が下がるであろう。その効果を密度の多項式の形で与えるのが Low density weakening model である。ここでは

NONE No low-density weakening.
POLY Polynomial function of density.

のいずれかを選択できる。

3.3. iSALE 開発チームによる例題

`~/isale-work/share/examples` ディレクトリには iSALE 開発チームが用意した様々な例題が格納されている。`asteroid.inp` や `material.inp` を編集する際に参考になるであろう。ただし、material.inp に入力されているパラメータにはそれぞれの物質によって異なる値が入っているものの、信頼できる値ではないことを注意しておく。多くの場合、参照文献も明記されていない。実際に使用する値はユーザ自身が文献調査をするか、実験によって決定する必要がある。本節では各例題の内容を簡単に紹介する。3.3.1 項以降の表題の括弧内には、以前に筆者が計算を実行した際に計算終了までにかかった実時間の情報を付しておく(MacBook Pro, Mid 2014, OS X 10.10.5, 3 GHz Intel Core i7, 16 GB 1600 MHz, DDR3)。計算終了までにかかる時間を見積もるのに使えるだろう。

3.3.1. Airburst (26 min)

大気中の爆発現象を模擬した計算. 気体を計算に導入する際の参考になるであろう. `asteroid.inp` に初期内部エネルギーを指定する `OBJENER` が使われている. 標準状態ではない初期条件を設定したい場合にはこのようにすればよい.

3.3.2. aluminum_1100_2D (60 min) & aluminum_6061_2D (62 min)

金属板を用いた室内衝突実験を模擬する計算. 金属を計算に導入したいときに参考になるであろう. またクレータ径, 深さを解析するための解析スクリプト(`cratergrowth.py`)が同梱されており, iSALE を使ってクレータ形成過程を研究したい読者には参考になるだろう.

3.3.3. Chicxulub (359 min = 6.0 hours)

6500 万年前に起きた生物大量絶滅事件(K/Pg 衝突)を引き起こした天体衝突 [e.g., Schulte et al., 2010; Collins et al., 2020] の模擬計算. 堆積岩, 地殼, マントルという多層構造標的となっている. 層構造を持つ天体への衝突計算を行いたい場合に参考になるだろう.

3.3.4. Collision2D (19 min)

空隙を持つ楕円球形状微惑星が空隙含有マントル, 空隙無し岩石核を持つ真球形状微惑星に衝突する計算. 空隙圧密モデルを計算に導入したい場合, 衝突体形状を変更したい場合, 天体中へ核を導入したい場合などに参考になる.

3.3.5. demo2D (31 sec)

本章で説明してきた `asteroid.inp`, `material.inp` はこの例題のものである.

3.3.6. dilatancy (310 min = 5.2 hours)

剪断歪がかかった際の粉体の挙動を記述する `dilatancy model` が使用されている. `dilatancy model` は Collins (2014)によって導入された. 一般に砂のような粉粒体に剪断歪をかけると硬くなることが知られている. このとき粉粒体のバルク密度は変化しないが, 比体積は大きくなる, つまり空隙率が上昇する. 地球, 月, 火星などに観られるクレータには Free air 重力異常が観られることがあるが, これは地下構造が空隙を含むためである. 標的地殼が `dilatant fluid` であると考える

とこのような重力異常を説明できる(Collins, 2014). 計算で形成されたクレータの重力異常を計算する解析スクリプト(porosity_gravity.py)も同梱されている.

3.3.7. Ice (>7 hours, TEND を小さくすることを推奨)

氷微惑星が内部海を持つ氷天体へ衝突する計算. 水氷を計算に導入したいときに参考になるだろう.

3.3.8. landslide (204 min = 3.4 hours)

S_TYPE = LANDSLIDE とする計算. 地すべりを計算するのに適した計算セットアップになっている. 2 次元デカルト座標系の計算例としても参考になる. なおこの例題には解析・描画用の python スクリプトが用意されていない.

3.3.9. MesoParticle2D (25 min)

S_TYPE = MESO_PART とする計算. Macro porosity の圧密を計算可能である [e.g., Davison et al., 2017]. 隕石組織との比較などを行いたい場合には有用である. この例題では 9 種類の物質を扱っており, 複数物質を計算に取り入れたい際にも参考になる. なおこのモデルには additional.inp (asteroid.inp への追加ファイル)という入力ファイルが追加されている. isale.pbs の中を

```
time ./iSALE2D -i asteroid.inp -a additional.inp -M material.inp
```

と書き換えることによって additional.inp も実行ファイル(iSALE2D)に読み込まれている.

3.3.10. mesoscale2D (255 min = 4.3 hours)

MesoParticle2D と同様に mesoscale 計算を実施する. この例題では標的中に巨視的な pore(空隙)が整列している際の衝撃波伝播を計算する. 空隙を含む物質に衝撃波が伝播する際の素過程を調べる際に有用である[e.g., Gündemeister et al., 2013].

3.3.11. planar_eulerian_2D (5.8 min) & planar_lagrangian_2D (2.3 sec)

いわゆる 1 次元平板衝突実験を模擬する計算. 衝撃物理の勉強にも有用である. planar_lagrangian_2D では ALE_MODE=LAGRANGE が採用されている.

3.3.12. Planet2D (42 min)

直径 200 km の小惑星が月へ衝突する計算. S_TYPE = PLANET, GRAD_TYPE = CENTRAL が採用され, 月中心重力場中の衝突計算を実施可能である.

3.3.13. Sand2D (433 min = 7.2 hours)

石英砂を用いた衝突実験の模擬計算. 数値計算の利点を活かし, 重力加速度が 500 G (= $4,905 \text{ m s}^{-2}$)に設定されている.

3.3.14. SelfGravity2D (21 min)

直径 4,800 km の原始惑星が原始地球に衝突する計算. S_TYPE = PLANET, GRAD_TYPE = SELF が採用されており, 例題中で唯一自己重力を考慮した流体計算を実施可能である.

4. iSALE 計算実践編 -初級-

本章からは実際に入力ファイル asteroid.inp, material.inp を編集し, pySALEPlot で作図をしていく。初級編は配布した asteroid.inp, material.inp から出発し, 衝突速度や EOS モデルを変更して計算を実施することにする。合わせて pySALEPlot の基本操作を解説する。4.1 節で必要ファイルを準備する。4.2 節では iSALE の出力ファイル群について述べる。4.3 節では pySALEPlot に関して対話式の iPython を使用して解説する。4.4 節では読者自身で入力ファイル編集と作図を行う。

4.1. Elementary2D 準備

初級として「Elementary2D」という例題を準備した。`~/isale-work/isale2021cfca/Elementary2D` に移動しよう。

```
$ cd ~/isale-work/isale2021cfca/Elementary2D
```

続いて計算を実行する。

```
$ qsub isale_run.sh
```

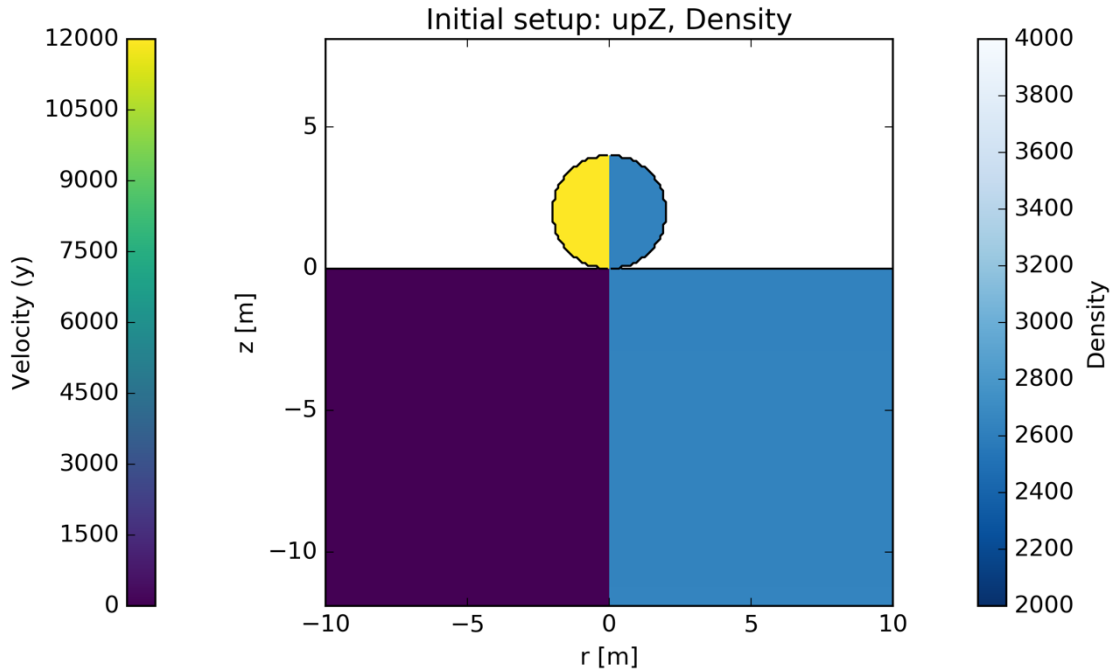
で計算を実行する。「qstat」で自身の Job が正常に流れているか確認しよう。計算は数分で終了するはずである。その間にここで用意した入力ファイル, asteroid.inp と material.inp について簡単に解説する。

基本は「demo2D」と似ているが, material.inp を書き換え, Projectile と Target を独立に扱えるようにした。また簡単のために物質モデルをすべて OFF にして完全流体としてある。EOS には ANEOS granite(granit2)を選択している。asteroid.inp は計算領域を少し拡張し, Projectile 半径を 20 格子で分割するように変更した。またトレーサ粒子を各格子に1個挿入している。トレーサ粒子を使った解析については次章で取り扱うこととする。

計算が終了すると「Initial_UpZDen」ディレクトリが生成され, 初期条件が描画されているはずである。

```
$ display -resize 20% ./Initial_UpZDen/upZDen.png
```

で画像を開いて確認してみよう。



のような図が描けていれば準備完了である。Initial.py は入力ファイルを変更したときに自分の意図通りに変更されているかを確認する際に有用であろう。なお各自のネットワーク環境によってはこの動画の表示に長い時間がかかる可能性がある。その時にはひたすら待つか、以下のコマンドで画像ファイル(*.png)を自分の手元の PC へ転送(scp)してそこで画像を見る方法がある。

```
$ scp -p isale00@grd0.cfca.nao.ac.jp:iSALE-
work/isale2021cfca/Elementary2D/Initial_UpZDen/upZDen.png
./
```

4.2. iSALE の出力ファイル

これまでに iSALE を走らせると asteroid.inp で指定したディレクトリに計算結果群が格納され、Python スクリプトを走らせると計算結果を描画した画像が生成されることを学んできた。本節ではここまで系統的には説明してこなかった

iSALE の計算出力の中身について特に筆者が有用であると考えるものを中心に解説する。

4.1 節の準備によって Elementary2D の下のディレクトリに Elementary2D というディレクトリが生成されているはずである。この中をみてみよう。

```
$ ls ./Elementary2D
INFO           SETUP          grid.txt  jdata.dat.jcerr   restart.dump.gz
PROGRESS      errors.txt0    jdata.dat  output.txt0
```

「jdata.dat」が iSALE の計算出力である。しかし、通常のエディタでは開いても内容は理解できないであろう。このファイルを適切に解読し、フィルタを掛けてユーザが欲しい情報に加工するのが pySALEPlot である。pySALEPlot については次節で説明する。output.txt0 には計算が正常に実行されているかどうかの諸量が記録される。現時点での達成度も確認できる。

```
$ tail -20 ./Elementary2D/output.txt0
```

などと入力してみよう。tail コマンドはファイルの末端から指定した行数を端末に表示させるコマンドである。上記の例ではファイル末端の 20 行を表示する。

PERCENT COMPLETE: XXX%

の部分が現時点までの達成度である。計算開始からの経過時間とこの値から計算終了まであとどのくらいの実時間がかかるか概算できる。

「INFO」ディレクトリの中をみてみよう。

```
$ ls ./Elementary2D/INFO
asteroid.inp          material.inp        modelsetup.tex
setup_report.txt
```

「INFO」には計算に使用した入力ファイル `asteroid.inp` と `material.inp` がコピーされ格納されている。`.modelsetup.tex` はこれらが LaTeX フォーマットで保存されている²³。`setup_report.txt` には入力ファイルをもとに構成した計算条件が全てまとめて記入されている。具体的には `asteroid.inp` や `material.inp` で顕に記入していないパラメータ群の値²⁴, EOS から計算された標準状態における諸量, 計算領域の実空間距離, 挿入したトレーサ粒子の位置及び総数, 「Projectile」の諸量(半径, 質量, 運動エネルギー, ...)などが記入されており, 意図した通りの計算設定が実現されているかどうかを確認する際に有用である。

続いて「SETUP」ディレクトリの中をみてみよう。

```
$ ls Elementary2D/SETUP
```

```
Tref_isotherm_granit2.txt energy.txt melttemp.txt temperature.txt  
alpha.txt gravity.txt pressure.txt yield.txt  
alpha_volstr_proj__.txt hugoniot-proj__-granit2-aneos.txt  
pressure_yield_proj__.txt alpha_volstr_target_.txt  
hugoniot-target_-granit2-aneos.txt pressure_yield_target_.txt  
density.txt matdist.txt sound.txt
```

のように様々なファイルが格納されている。初期条件として計算された値がテキストファイルで保存されている。例えば `pressure.txt` には初期条件における深さ方向の静水圧構造, `temperature.txt` には初期温度構造が記述されている。また特に有用なのは EOS から計算された Hugoniot 曲線である。ここでは `hugoniot-proj__-granit2-aneos.txt`, `hugoniot-target_-granit2-aneos.txt` である。`material.inp` で入力した物質モデルに従って計算された Hugoniot 曲線(講義編テキストの図 3.1.1 参照)が格納されている。物質ごとの Hugoniot 曲線が出力されるので、この結果と 1 次元インピーダンス・マッチング法[e.g., Melosh, 1989, pp54–56]を用いて衝突直下点の最大圧力の解析解を求めることが可能である。

「PROGRESS」ディレクトリには計算中のタイムステップと、質量保存状況、エネルギー保存状況を記述したテキストファイルが格納されている。

²³ LaTeX ユーザにとっては論文などを書く際に有用でしょう。

²⁴ これらのパラメータには iSALE 開発チームの推奨値が自動的に入力されます。iSALE にはこのような「隠しパラメータ」が結構多いので、確認することをおすすめします。

4.3. pySALEPlot 概要

本節では iSALE の計算出力の解析に利用する pySALEPlot について解説する。pySALEPlot の本体は Python で書かれた pySALEPlot.py である。pySALEPlot.py は iSALE の計算出力である jdata.dat に適当なフィルタをかけて読み込むために使用できる他、衝突計算に適したいくつかの関数(例えばクレータ直径、深さの時間変化の抽出、ある位置にあるトレーサ番号の特定など)が定義されている。Python ベースとすることで Numpy(演算), Matplotlib(描画)といった優れた module(package)を呼び出して使用することができるという利点がある。iPython という対話型の User Interface が準備されており、自身の解析スクリプトを作成する際に便利である。なお pySALEPlot について開発者の Tom Davison 博士が書いた簡易マニュアルも用意されている。そちらも熟読することをおすすめする。

pySALEPlot manual

http://isale-code.de/redmine/projects/isale/wiki/PySALEPlot_manual

以下では、iPython を使って pySALEPlot でデータを読み込み、Matplotlib で描画を行う一連の流れをみていこう。なお計算サーバのコマンドライン上での iPython の起動は禁止されているので絶対に行わないこと。 計算は必ず qsub コマンドを使った PBS ジョブとして投入することが定められている²⁵。

1. まず解析サーバにログインする。

```
$ ssh -CY isale00@an00.cfca.nao.ac.jp
```

もしくは

```
$ ssh -CY isale00@an01.cfca.nao.ac.jp
```

(isale00 は自身の講習会 ID に書き換える、以下も全て同様)

2. Python で使用可能な package を読み込む²⁶。

```
$ module load anaconda/2 intel
```

²⁵ 今回の講習会専用機 grd0 にはこの規約は適用されないものの、将来的に一般利用者として計算サーバを使う日を考えると今からこの規約に慣れておくことが望ましいです。

²⁶ anaconda には上述の Numpy, Matplotlib といった module が含まれています。

3. ディレクトリ~/isale-work/demo2D/Plotting に移動する.

```
$ cd ~/isale-work/demo2D/Plotting
```

4. python と ipython の version を確認する.

```
$ python --version
```

Python 2.7.15 :: Anaconda, Inc.

```
$ ipython --version
```

5.8.0

となっていれば OK である.

5. iPython を起動する.

```
$ ipython --matplotlib
```

Python 2.7.15 |Anaconda, Inc.| (default, May 1 2018, 23:32:55)

Type "copyright", "credits" or "license" for more information.

IPython 5.8.0 -- An enhanced Interactive Python.

? -> Introduction and overview of IPython's features.

%quickref -> Quick reference.

help -> Python's own help system.

object? -> Details about 'object', use 'object??' for extra details.

Using matplotlib backend: Qt5Agg

In [1]²⁷:

6. 「Import」コマンドで必要な module を読み込む.

²⁷ iPython で対話モードに入るとこのように In[X]: と表示されます. やりとりの度に X が 1 つ増えます.

```
In [2]: import sys
```

7. version を確認する。

```
In [3]: print sys.version
```

```
2.7.15 |Anaconda, Inc.| (default, May 1 2018, 23:32:55)  
[GCC 7.2.0]
```

8. pySALEPlot を import する。

```
In [4]: import pySALEPlot as psp28
```

```
=====
```

- pySALEPlot -
by Tom Davison

```
=====
```

9. jdata.dat を Python の変数に受け渡す。

```
In [5]: model = psp.opendatfile('../demo2D/jdata.dat')
```

```
Opened iSALE data file './demo2D/jdata.dat', with 201 time steps
```

これで「model」という変数の中に./demo2D/jdata.dat を格納したことになる。もちろん変数名は変更できる²⁹。

10. タブ補完機能を使い「model」に含まれている内容をみてみる。

²⁸ import X as Y で、それ以降は Y と入力すると X が読み込まれます。

²⁹ 異なる asteroid.inp, material.inp による計算出力の jdata.dat を別の変数に受け渡し、同時に解析を行うことも可能です。例えば衝突速度を変化させた計算を実施したときに両者を比較するなど。

```
In [6]: model.[TAB]
```

([TAB]はタブキーを押すという意味)

補完候補が複数でてくる。これらが変数 model に格納されている情報である。このように利用できる機能をタブ補完で調べることができるのが iPython を使うことの利点である。

11. 試しに「model.inputDict」に何が書かれているか確認してみよう。

```
In [7]: print model.inputDict
```

```
{'DAMMOD': 'COLLINS', 'GAMETA': 0.008, 'DTDZSURF': 0.01, 'D_LITH': 80000.0, 'YLIMDAM':  
2000000000.0, 'R_PLANET': 6370.0, 'BPTPRES': -1.0, 'YINTo': 10000000.0, 'YDAMo': 10000.0,  
'TFRAC': 1.2, 'PATH': './', 'MODEL': 'demo2D', 'TEND': -10.0, 'DT': 0.001, 'ALE_MODE': 'EULER',  
'BND_T': 'OUTFLOW', 'STRESS': 1, 'GRIDV': [35, 90, 15], 'OBJTPROF': 'CONST', 'GRIDEXT': 1.03,  
'BDTPRES': -1.0, 'BND_B': 'NOSLIP', 'LAYTPROF': 'COND', 'OBJVEL': -6500.0, 'CSIMON': 3.0,  
'DTSAVE': -0.05, 'LAYPOS': -85, 'STRMOD': 'ROCK', 'FRICINT': 1.1, 'PORMOD': 'NONE',  
'GRAD_DIM': 2, 'GRIDH': [0, 80, 32], 'AVIS': 0.24, 'YLIMINT': 250000000.0, 'BND_R':  
'OUTFLOW', 'OBJNUM': 1, 'VARLIST': '#Den-Pre-Tmp-Yld-Dam-Ert-Vib-YAc-PVb-VEL#',  
'OBJMAT': 'mygrani', 'POIS': 0.3, 'TMELTo': 1673.0, 'VERSION': 4.1, 'OBJTYPE': 'SPHEROID',  
'GAMBETA': 115.0, 'ACFL': 'BLOCK', 'EOSTYPE': 'aneos', 'DIMENSION': 2, 'TOFF': 16.0,  
'EOSNAME': 'granit1', 'VIB_MAX': 200.0, 'AVIS2': 1.2, 'GRAD_TYPE': 'DEFAULT', 'OBJRESH': 8,  
'BND_L': 'FREESLIP', 'T_SURF': 293.0, 'LDWEAK': 'POLY', 'GRIDSPC': 100.0, 'S_TYPE':  
'DEFAULT', 'THSOFT': 'OHNAKA', 'GRAV_V': -9.81, 'MATNAME': 'mygrani', 'LAYMAT':  
'mygrani', 'DTMAX': 0.05, 'LAYNUM': 1, 'FRICDAM': 0.8, 'CVIB': 0.1, 'ASIMON': 600000000.0,  
'QUALITY': -50, 'GRIDSPCM': -20.0}
```

これらは asteroid.inp, material.inp に入力した内容である。例えば

```
In [8]: print model.inputDict['R_PLANET']
```

6370.0

とすれば asteroid.inp 中に記載した R_PLANET の値を呼び出すことができる。

12. pySALEPlot の「readStep」関数で任意のタイムステップの計算出力を呼び出せる。まずは初期条件を「step0」に格納してみよう。

```
In [9]: step0=model.readStep(0)
```

```
Read in ['Den'] for timestep -1 (0.000e+00 s)
```

変数を指定しない場合は密度(Den)の値が読み込まれる。別の物理量を読み込みたいときは

```
In [10]: step0=model.readStep(['Den', 'Pre'],0)
```

```
Read in ['Den', 'Pre'] for timestep 0 (0.000e+00 s)
```

のように指定すればよい。なお asteroid.inp の VARLIST に記載した物理量しか読み込めない。

13. step0 の中を覗いてみる。step0.[VAR]，もしくは step0.data[] でその物理量の情報を呼び出せる。ここで[VAR]には物理量の名前(Den, Preなど)，data[]には readStep 関数で読み込んだときの順番に整数を入れる。つまりこの例では step0.Den = step0.data[0]である。

```
In [11]: print step0.Den
```

```
[[2636.44921875 2636.33203125 2636.218017578125 ... ----]
```

```
[2636.44921875 2636.33203125 2636.218017578125 ... ----]
```

```
[2636.44921875 2636.33203125 2636.218017578125 ... ----]
```

```
...
```

```
[2636.44921875 2636.33203125 2636.218017578125 ... ----]
```

```
[2636.44921875 2636.33203125 2636.218017578125 ... ----]
```

花崗岩(granit2)の標準密度が並んでいるはずである。

ここで

```
In [12]: print step0.Den[0,0]
```

2636.4492

などとすれば格子 $[0, 0]$ に格納されている値を読むこともできる。

格子 $[0, 0]$ の原点から測った実距離は model.x, model.y に格納されている。

```
In [13]: print model.x[0,0]
```

0.0

```
In [14]: print model.y[0,0]
```

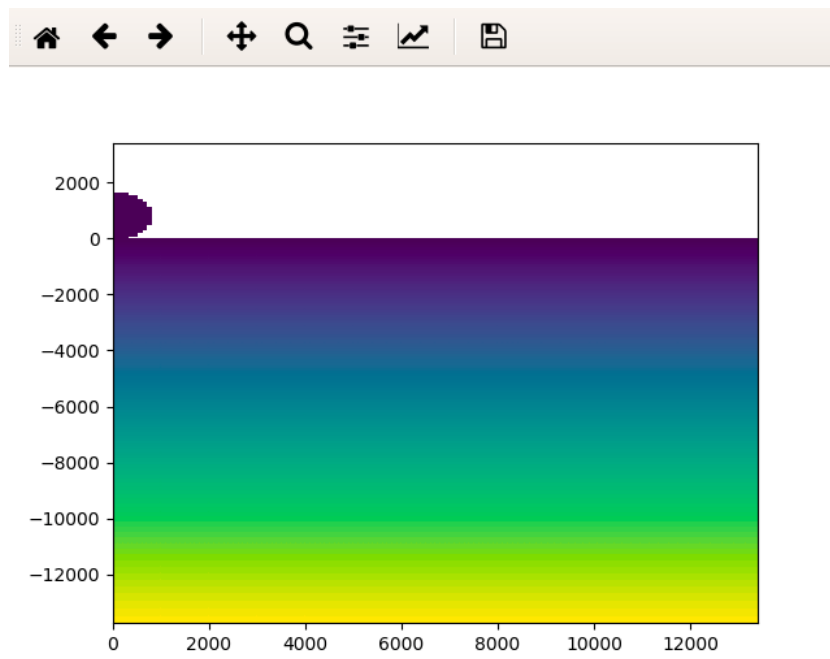
-13727.5947265625

つまり $[R, Z] = [0, -13.7 \text{ km}]$ の位置における密度は $2,636 \text{ kg m}^{-3}$ であることがわかる。

14. matplotlib を import し, 描画をしてみよう.

```
In [15]: import matplotlib.pyplot as plt
```

```
In [16]: plt.pcolormesh(model.x,model.y,step0.Den)
```



上記のような図が現れれば成功である。以上で pySALEPlot による計算出力 jdata.dat の読み込み、フィルタによる特定の物理量の Python への受け渡し、任意のタイムステップのデータの取り出し、Matplotlib による描画の流れが完了する。これらを一つのファイルにまとめ、まとめて実行できるようにしたものが plot.py などの Python スクリプトである³⁰。

ここで作成した図は論文に載せたり、研究発表の場に耐える質とは言い難いが、自分好みの図に改良していくところは本講習会の範疇ではないので、基本的には取り扱わない。Matplotlib による美しい図の作り方は web 上に山程の情報が蓄積されているので、そちらを参照してほしい。

4.4. asteroid.inp & material.inp の編集 & 描画

本節からはいよいよ読者自身が asteroid.inp, material.inp を編集し、自分好みの入力ファイルを生成していくことにしよう。作図用の Python スクリプト 3 種が Plotting ディレクトリ中に用意してある。

Initial.py

初期条件描画用。鉛直方向の粒子速度と密度を描画する。衝突速度や EOS モデルの変更が意図通りに行われているか確認する際に使えるだろう。

PreDen.py

本スクリプトは for 文を用いて、ループを生成し図を複数枚生成する。現象を時系列で調べる際に有用であろう。用意した asteroid.inp は $t = 10 t_s$ ³¹まで計算し、 $0.1 t_s$ ごとに計算結果を書き出す設定になっている。本スクリプトでは $1 t_s$ ごとの図を出力する。圧力と密度の時間変化を描画する設定になっているが、asteroid.inp の VARLIST で指定した中の任意の物理量に変更可能である。

Hugoniot_up-P-Den.py

./Elementary2D/SETUP 中の Projectile と Target の Hugoniot 曲線データを粒子速度-圧力平面上に描画する。Projectile の Hugoniot 曲線については反転

³⁰ gnuplot のユーザでしたら plt file の編集と同じ要領です。

³¹ Projectile の貫入特徴時間。式(3.1.6.3)

Hugoniot 曲線となっており、1 次元インピーダンス・マッチング法を可視化することができる。

適宜活用してほしい。

以下、自身の好きなように進めて構わないが、指示がないとわかりにくいという読者もいるかもしれない。以下ではいくつかの方針を述べる。

(a). ファイル編集時には元ファイルを残しておく。

編集作業を重ねてエラーが出た場合に、元ファイルがないと原因を特定できないことがある。編集の際にはバックアップを残しておこう。これは iSALE 計算を進める際のデータ管理方法にも関係してくる。ここでは 2 通りの方法を紹介しておこう。1 つ目は「Elementary2D」をディレクトリごとコピーすることである。

```
$ cp -pr Elementary2D [Hoge]
```

([Hoge]には任意の名前をつける)

と cp コマンドに -r オプションをつけることで Elementary2D をコピーし、その中身を任意の名前のディレクトリに格納することができる。[Hoge]の中の asteroid.inp, material.inp を編集することにすれば元ファイルとの比較も容易である。

2 つ目は Elementary2D の中で asteroid.inp, material.inp を別の名前をつけて複製し、iSALE2D に読み込ませることである。この場合、Elementary2D に移動し、例えば

```
$ cp ./asteroid.inp ./ asteroid_[Hoge].inp
```

```
$ cp ./material.inp ./ material_[Hoge].inp
```

([Hoge]には任意の名前をつける)

などとし、さらに isale_run.sh の中の該当行を編集する。

```
time ./iSALE2D -i asteroid_[Hoge].inp -M material_[Hoge].inp
```

とすればよい。ただし, asteroid_[HOGE].inp 内の PATH と MODEL を元ファイルの asteroid.inp で指定したそれらとは変更しておく必要がある。これを忘れる計算結果が上書き保存されてしまう。

(b). 衝突速度を変更してみよう。

元の asteroid.inp では衝突速度が 12 km s^{-1} と設定されている。asteroid.inp の OBJVEL を好きな値に変更し, Initial.py で描画してみると、速度が変更されていることを確認できるだろう。ここで isale_run.sh の中で

```
time ./iSALE2D -i asteroid.inp -M material.inp -C
```

のように -C オプションつけると、初期条件の構成のみを行うことができる。入力ファイルを編集する段階では有用である。

(c). EOS model を変更してみよう。

「eos」ディレクトリには使用可能な EOS model が格納されている。EOS model には標準密度の情報も含まれている。例えば granite2 から iron__に変更すれば、Initial.py で密度が変わることが明確にわかるであろう。また proj__ と target__ に異なる物質を割り当てることも可能である。

(d). Projectile size, 形状を変更してみよう。

元の asteroid.inp では 20 CPPR が入力されている。OBJRESH を変更すると Projectile のサイズが変わる。

OBJRESH	CPPR horizontal	: 20
OBJRESV	CPPR vertical	: 40

などと入力すれば橯円球形状の Projectile を作成することができる。

ここまでできるようになれば、iSALE の基本的な操作は習得できているであろう。続いて PreDen.py を例に取って時系列変化を描画するスクリプトの内容を簡単に解説する。

1-15 行

必要な module を import する. 最初の 3 行は計算サーバで python スクリプトを実行する際に必要である.

17-30 行

出力グラフの見栄えを変更するためのヒントを入れておいたが, デフォルトではコメントアウトされている. Python ではシングルクォーテーションを 3 つ並べて複数行をはさむと, 複数行コメントアウトが可能である. なお単一の該当行のコメントアウトは文頭に "#" (シャープ) をつければよい.

32-34 行

解析結果を格納するディレクトリを指定する.

```
dirname = 'PreDen'  
psp.mkdir_p(dirname)
```

任意の名前に変更可能である. 好みの PATH 指定も可能である.

36-37 行

jdata.dat の中身を model に受け渡す.

```
model = psp.opendatfile('./Elementary2D/jdata.dat')
```

40-41 行

計算条件を確認する.

```
print model.modelInfo()  
print model.tracerInfo()
```

./Elementary2D/INFO/setup-report.txt だけでなく pySALEplot からも計算条件を確認することができる. 必要なればコメントアウトすればよい.

43-44 行

空間スケールの単位を指定する.

```
model.setScale('m')
```

ここでは um, mm, cm, m, km を選択できる。変更すると、「model」の中の実空間距離の単位が全てその単位に変換される。

例をあげると

```
model.x = 10,000 (for model.setScale('m'))  
model.x = 10     (for model.setScale('km'))
```

となる。

46-53 行

「model」に格納された情報から Projectile 半径 R_p , 衝突速度 v_{imp} , 貫入特徴時間 t_s を計算する。

```
Grid_size    = model.inputDict['GRIDSPC']  
CPPR        = model.inputDict['OBJRESH']  
Rp          = Grid_size*CPPR  
vimp        = -model.inputDict['OBJVEL']  
ts          = 2.*Rp/vimp
```

このようにすると入力ファイルの情報を読み取って自動的に計算することができる。Projectile のサイズや衝突速度といった計算条件を変更した際に解析スクリプトを編集する必要がなくなる。また手入力にありがちな入力間違いを防止できる。

55-57 行

Matplotlib で図を作ることを宣言する。

```
fig = plt.figure(figsize=(12, 8))  
ax = fig.add_subplot(111, aspect='equal')
```

figsize を変更すれば、作成される画像サイズの大きさを変更できる。

59–71 行

図の左右に 2 つの独立したカラーバーを作成する関数を定義する。

```
def make_colorbars(ax, p, f, units):
    # Create axes either side of the plot to place the colorbars
    divider = make_axes_locatable(ax)
    cx1 = divider.append_axes("right", size="5%", pad=0.3)
    cx2 = divider.append_axes("left", size="5%", pad=0.8)
    cb1 = fig.colorbar(p[0], cax=cx1)
    cb1.set_label(bsp.longFieldName(f[0])+units[0])
    cb2 = fig.colorbar(p[1], cax=cx2)
    cb2.set_label(bsp.longFieldName(f[1])+units[1])
    # Need to set the labels on the left for this colorbar
    cx2.yaxis.tick_left()
    cx2.yaxis.set_label_position('left')
```

Python で関数定義を行うときの参考にもなるであろう。

73–76 行

時刻(ステップ)に対するループを宣言する。

```
iStart = 0
iLast = model.laststep
for i in arange(iStart, iLast, 10):
```

今回の asteroid.inp では model.laststep = 100 である。arange(iStart, iLast, 10) は iStart から iLast までの等差数列を用意する関数である。数列の値を順次整数 i に代入して処理を繰り返すという宣言をしている³²。なお Python では for 文のループ範囲はインデント(半角スペース 4 つ)によって判断される。これ以降繰り返し処理させる部分は全てインデントをつけて記述する。

78–84 行

X 軸, Y 軸の値域, と軸ラベルの指定する。

³² i = [0, 10, 20, 30, 40, 50, 60, 70, 80, 90] の 10 要素になります。

```

# Set the axis labels
ax.set_xlabel('Radial distance (projectile radius)')
ax.set_ylabel('Height (projectile radius)')

# Set the axis limits
ax.set_xlim([-7, 7])
ax.set_ylim([-8, 6])

```

計算領域を変更したときは適宜変更する。

86–87 行

時刻ステップ i のデータを変数 $step$ に読み込む。

```

# Read the time step 'i' from the datafile
step = model.readStep(['Pre', 'Den'], i)

```

89–93 行

読み込んだデータをプロットする。

```

# Plot the density field
p1 = ax.pcolormesh(model.x/Rp, model.y/Rp, step.Pre*1e-9,
                    cmap='magma', vmin=0, vmax=10)
p2 = ax.pcolormesh(-model.x/Rp, model.y/Rp, step.Den*1e-3,
                    cmap='YIGnBu_r', vmin=1.5, vmax=4)

```

$model.x$, $model.y$ は各格子点の原点からの動径方向距離, 鉛直方向距離である。ここでは衝突天体半径 R_p で規格化してあるが, 実距離に変更したければ/ R_p を削除すればよい。`pcolormesh` はこのような均一格子点の物理量を描画するのに適している。

95–100 行

物質境界線を追加する。

```

[ax.contour(model.xc/Rp,      model.yc/Rp,  stepcmc[mat],  1,  colors='k',
            linewidths=2) for mat in [1, 2]]

```

```
[ax.contour(-model.xc/Rp, model.yc/Rp, stepcmc[mat], 1, colors='k',  
linewdths=2) for mat in [1, 2]]
```

model.xc, model.yc は原点からの測った各格子点中心の動径方向距離, 鉛直方向距離である. stepcmc は物質インデックスであり, model.readStep で指定していくなくても自動的に受け渡されている情報である.

102–105 行

カラーバーを設定する. さきほど定義した make_colorbar 関数を呼び出す.

```
# Add a colourbar, but only need to do this once  
if i == 0:  
    #Call the function  
    make_colorbars(ax, [p1,p2], ['Pressure','Density'], ['(GPa)', '(g/cc)'])
```

全ての図で共通のカラーバーを定義しておくと時間変化を読み取りやすい. この場合は $i=0$ で 1 度定義しておけばよいので If 文を使っている. Python で If 文を使った条件分岐をさせたいときはこのようにすればよい.

107 行

グラフタイトルを指定する.

```
ax.set_title('Scaled time t/ts = {:.5f}'.format(step.time/ts))
```

ここでは貫入特徴時間で規格化した時刻を指定している. もちろん, 衝突速度も合わせて記入するなど自由に変更可能である.

109–110 行

図を書き出す.

```
fig.savefig('{}/PreDen-step{:05d}.png'.format(dirname,i), dpi=100)
```

32–34 行で指定したディレクトリの中に PreDen-step[i] という名前で png ファイルが生成される. dpi の値も指定できる.

112–113 行

軸をリセットする.

```
# Clear the axis
```

```
ax.cla()
```

以上が PreDen.py で行わせている処理の流れである. ここまでを理解した上で ./examples 中に含まれている iSALe 開発チームが作成した python スクリプトを読むとその内容がわかってくるであろう.

5. iSALE 計算実践編 -中級-

本章では pySALEPlot を用いて計算結果を解析していく方法を学ぶ。中級課題として「Intermediate2D」を用意してある。`asteroid.inp`, `material.inp` は「Elementary2D」で使用したものと同じである。2021年度はトレーサ粒子を用いた解析を掘り下げる。講師は初級編で用いた `PreDen.py` を元に解析を追加するが、自分で好きなように進めてもらって構わない。いち早く全ての課題をこなしてしまった場合は自分の思うような解析スクリプトの作成を進めるとよい。もしくは過去の講習会の課題に取り組んでもよいかもしれない。今年度には取り扱っていないいくつかの課題(経験した温度と累積質量分布、クレータ直径深さの時間変化、衝撃波面・膨張波面の可視化、最大衝撃圧力分布など)と解答用の `python` スクリプトが用意されている。

5.1. 特定のトレーサの位置座標をスナップショット中に追加する。

解答例スクリプト: `PreDen_w_selected_tracer1.py`

トレーサ粒子を活用すると、初期に任意の場所にあった物質がどのように移動しているか可視化することができる。まずは計算のスナップショット中に一つのトレーサ粒子の動きを描画してみることにしよう。`pySALEPlot` には任意の位置にあるトレーサ粒子の ID を抽出する `findTracer` 関数が実装されている。例えば初期に $(R, Z) = (R_p, -R_p)$ の位置にある粒子の ID を取り出すには

```
stepo      = model.readStep('TrP',0)
tracer_id = stepo.findTracer(Rp, -Rp)
```

とする。ここで R, Z, R_p はそれぞれ対称軸から測った動径方向距離、標的表面から測った鉛直方向距離、衝突天体半径である。この処理によって $(R, Z) = (R_p, -R_p)$ の最寄りのトレーサ粒子の ID が `tracer_id` に格納される。選択した座標の近傍に存在する複数個のトレーサ粒子の ID が抽出される場合がある。この場合 `tracer_id` は配列であることに注意されたい。スカラー量に変更する場合は

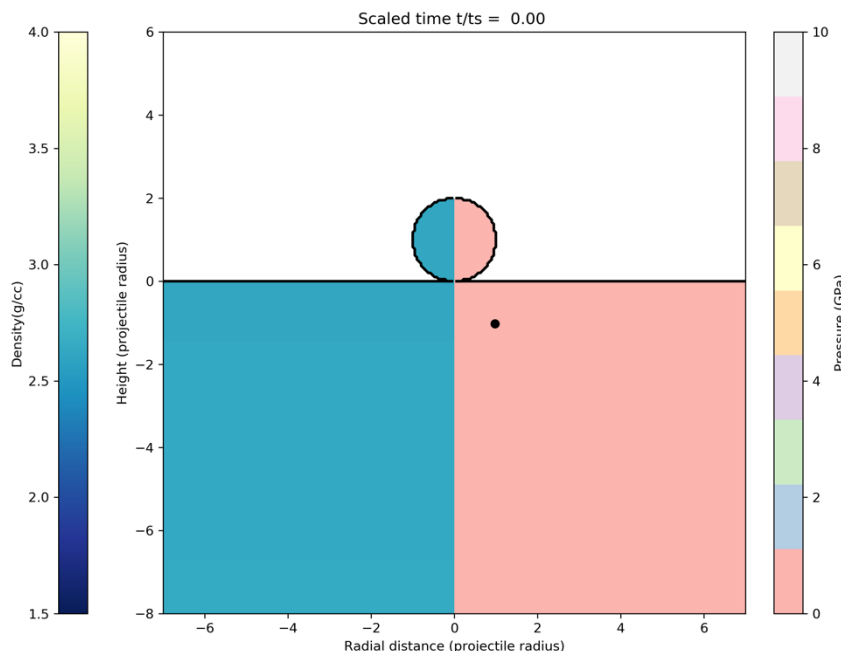
```
if(len(tracer_id)>1):
```

```
tracer_id = tracer_id[0]
```

のような条件分岐処理を加えるとよい。`len()`は配列内の要素数を返す関数である。以上で初期に $(R, Z) = (R_p, -R_p)$ にある粒子の ID を一つ抽出できた。なおこの処理は `PreDen.py` の後半のループ中で行う必要はなく、計算の最初に一度行えばよい。

```
ax.plot(step.xmark[tracer_id]/Rp, step.ymark[tracer_id]/Rp, 'ko')
```

などとして、描画すると `PreDen.py` の画像に黒丸が加わり、物質の移動を見ることができる。



このような図がなければOKである。黒丸が選択したトレーサ粒子の初期位置である。黒丸は $(R, Z) = (R_p, -R_p)$ の位置にあることがわかる。

5.2. 特定の条件を満たすトレーサ粒子群をスナップショット中に追加する。

解答例スクリプト: `PreDen_w_selected_tracer2.py`

数値流体計算をする場合、計算中で特定の条件を満たす粒子が初期にどの位置にあり、衝突現象中にどのように移動したのかを調べたい場面が頻繁に現れる。pySALEPlot に用意されている readStep 関数は任意のタイムステップの計算結果を呼び出すことができる。ここでは例として計算の最終タイムステップで上向きの粒子速度を獲得している粒子を抽出し、その動きを可視化してみよう。

計算の最終ステップは pySALEPlot に実装されている laststep 関数を用いて読み出すことができる。

```
iLast = model.laststep
```

のようにすればよい。ここでは iLast = 100 が入力される。例えば

```
step_Last = model.readStep(['TrP', 'TrT'], iLast)
```

のようにすると step_Last に計算の最終タイムステップにおける位置座標と TrP, TrT が格納される。トレーサ粒子には粒子速度の情報が記録されていないため、計算で求める必要がある。前後どちらかのタイムステップを合わせて呼び出し、位置座標の差分を時間差で割ればよい。時間差 delta_time は asteroid.inp 中の DTSAVE の値であるが負の値の場合は衝突天体の貫入特徴時間で規格化されていることを 3.1.6 項で述べた。

```
dtsave = model.inputDict['DTSAVE']
```

```
delta_time = dtsave
```

```
if(dtsave < 0):
```

```
    delta_time = -ts*dtsave
```

のようにすると delta_time を自動的に演算可能である。

```
step_Last = model.readStep(['TrP', 'TrT'], iLast)
step_Last_pre = model.readStep(['TrP', 'TrT'], iLast-1)
```

```
Tracer_up_R = (step_Last.xmark - step_Last_pre.xmark)/delta_time  
Tracer_up_Z = (step_Last.ymark - step_Last_pre.ymark)/delta_time
```

のようにすれば、最終タイムステップですべてのトレーサ粒子の R 方向粒子速度, Z 方向粒子速度を計算することができる。例として `Tracer_up_Z > 0.3 km/s` のトレーサ ID を抽出してみよう。Numpy で用意されている `where` 関数を使うと簡便である。

```
tracer_id = np.where(Tracer_up_Z > 300)
```

とすればよい。

```
print(tracer_id)
```

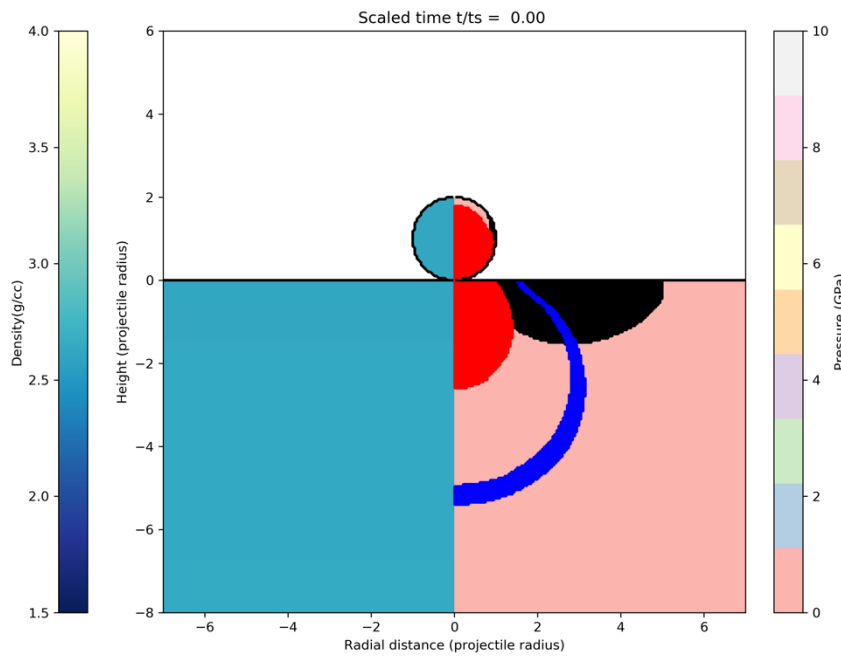
を実行すると、粒子群が抽出されていることがわかる。また

```
print(Tracer_up_Z)  
print(Tracer_up_Z[tracer_id])
```

を実行し、比較すると `where` 関数によって確かに上向き速度を持つ粒子のみが抽出されていることがわかるであろう。後は課題 5.1 と同様に

```
ax.scatter(step.xmark[tracer_id]/Rp, step.ymark[tracer_id]/Rp, c='k', s=5)
```

などとして描画させればよい。今回は `tracer_id` に複数の ID が格納されているため `matplotlib` で散布図を描画する `scatter` 関数が便利である。



このような図を作成することができる。ここでは黒点で示されているのが計算の最終タイムステップで $u_{pz} > 0.3 \text{ km/s}$ となっている粒子の初期位置である。同様の処理で最大衝撃圧力や最大到達温度に関する条件を追加し、初期位置に対して描画することも容易である。上図では最大圧力 $> 60 \text{ GPa}$ (赤点)、最大温度 = $600\text{--}700\text{K}$ (青色)の粒子群も合わせて描画した。

5.3. 特定のトレーサの流跡線をスナップショット中に追加する。

解答例スクリプト: PreDen_w_selected_tracer3.py

課題 5.1, 5.2 で任意の一つトレーサ粒子、ある条件を満たすトレーサ粒子群を抽出する方法を習得できた。それらのトレーサがどのような流跡線を描いているのかを調べたくなることもあるだろう。ここでは任意の一つのトレーサ粒子の流跡線をスナップショット中に描画してみよう。以下では PreDen_w_selected_tracer1.py をもとにして処理を追加する。流跡線を描くには各タイムステップにおける位置座標を記録した配列を作成することが便利である。後半のループに入る前に

```
Tracer_R = []
Tracer_Z = []
```

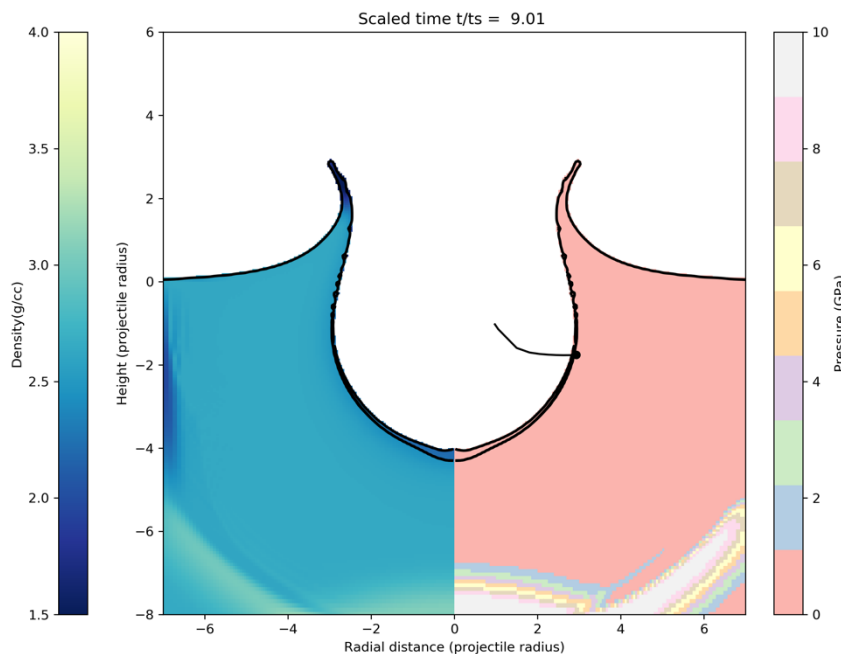
のように宣言し、トレーサ粒子の R 座標, Z 座標を格納する配列を用意する。続いてループ中で

```
Tracer_R.append(step.xmark[tracer_id]/Rp)
Tracer_Z.append(step.ymark[tracer_id]/Rp)
```

のように append 関数で各タイムステップにおける位置座標を配列に追加する。

```
ax.plot(Tracer_R, Tracer_Z, 'k-')
```

とすれば流跡線を描画することができる。



このような図を作成できればOKである。もちろん見た目が多少異なっても構わない。

5.4. 特定のトレーサの熱力学経路を描画する.

解答例スクリプト: PreDen_w_selected_tracer4.py

課題 5.3 で特定のトレーサの動きを可視化することができた. 本課題では相図上でのトレーサの熱力学経路を新たな図として追加してみよう. 今回は例として密度-圧力平面上の経路を描画する. subplot を追加することにしよう. 2つの図を横に並べるようにするとわかりやすい図に仕上がる.

```
fig=plt.figure(figsize=(28,14))
fig.subplots_adjust(left=0.1,right=0.93,wspace=0.35)
ax1=fig.add_subplot(121, aspect="equal")
ax2=fig.add_subplot(122, aspect="0.05")
```

のように 2 つの図に ax1, ax2 と名付けて図を作成することを宣言しよう. 課題 5.1-5.3 までで「ax」として指定していたものはすべて「ax1」に変更する. 相図を描く際には基準として Hugoniot 曲線も描画するとわかりやすい. opendatfile 関数で jdata.dat を python に渡すところで合わせて SETUP フォルダ中の Hugoniot data も読み込んでおくとよいだろう.

```
hugo = np.genfromtxt('./Intermediate2D/SETUP/hugoniot-target_granit2-
aneos.txt',usecols=(0,3,4))
```

とすると配列 hugo 中に Hugoniot 曲線データが格納される. ここで列 0, 3, 4 は元ファイル中でそれぞれ密度, 圧力, 温度に対応している. Hugo 中ではそれぞれ 0, 1, 2 列に密度, 圧力, 温度が記録される. 例えば

```
print(hugo[:,2])
```

などとすれば Hugoniot 曲線の温度データを見ることができる.

流跡線の描画と同様に時々刻々の密度と圧力を配列に格納する方法が簡便である. ループの前で

```
Tracer_Den = []
```

```
Tracer_Pre = []
```

と宣言し、ループの中で

```
Tracer_Den.append(step.Trd[tracer_id]*1.0e-3)  
Tracer_Pre.append(step.Trp[tracer_id]*1.0e-9)
```

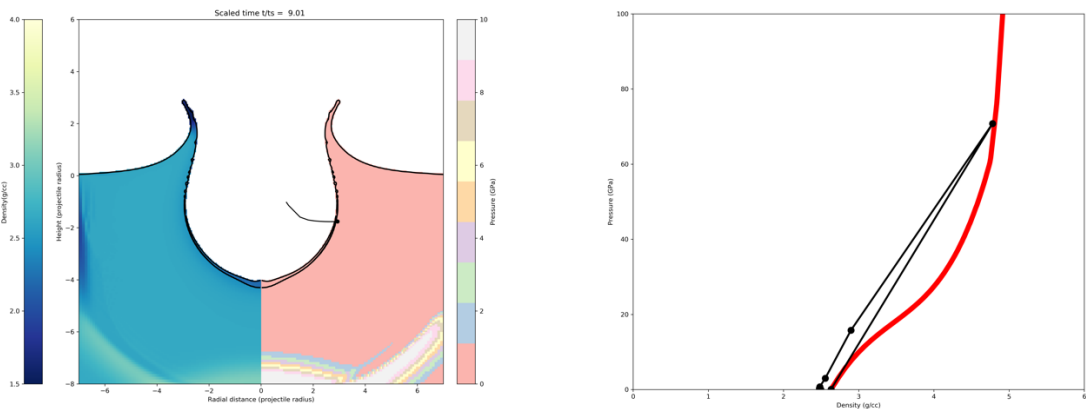
として配列中に値を記録すればよい。なお当然ながら readStep 関数で Trd, Trp も読み込む必要がある。ここでは単位が g/cc, GPa になるように係数を掛けてから配列に格納している。

```
ax2.plot(Tracer_Den, Tracer_Pre, color='black', linestyle='solid', linewidth = 3.0,  
zorder=1)
```

のように ax2 に描画すればよい。Hugoniot 曲線も同様に

```
ax2.plot(hugo[:,0]*1.e-3, (hugo[:,1]*1e-9), color='red', linestyle='solid', linewidth =  
8.0, zorder=1)
```

などとして ax2 に重ね書きする。



このような図を作成できる。右図の赤線が Hugoniot 曲線、黒線は左図で流跡線を示しているトレーサ粒子の熱力学経路である。このような図を作成してみる

と衝撃波伝播直後に確かに Hugoniot 曲線上の点に遷移することを確かめることができる。

5.5. 特定の条件を満たすトレーサ粒子の総質量の時間変化を調べる。

解答例スクリプト: PreDen_w_selected_tracer5.py

ここまでくれば、個々のトレーサ粒子の解析は自由に行えるであろう。最後に課題 5.2 のような粒子群の抽出に戻って、ある条件を満たすトレーサ粒子の総質量の時間変化を求め、描画してみることにしよう。ここでは例としてある時刻において上向きに 0.3 km/s 以上の粒子速度を獲得しているトレーサ粒子の総質量の時間変化を求める。考え方は課題 5.1–5.4 と同様である。計算中の時刻と求めたい質量を格納する配列を

```
Time_in_calc      = []
Tracer_mass_plus_upZ = []
```

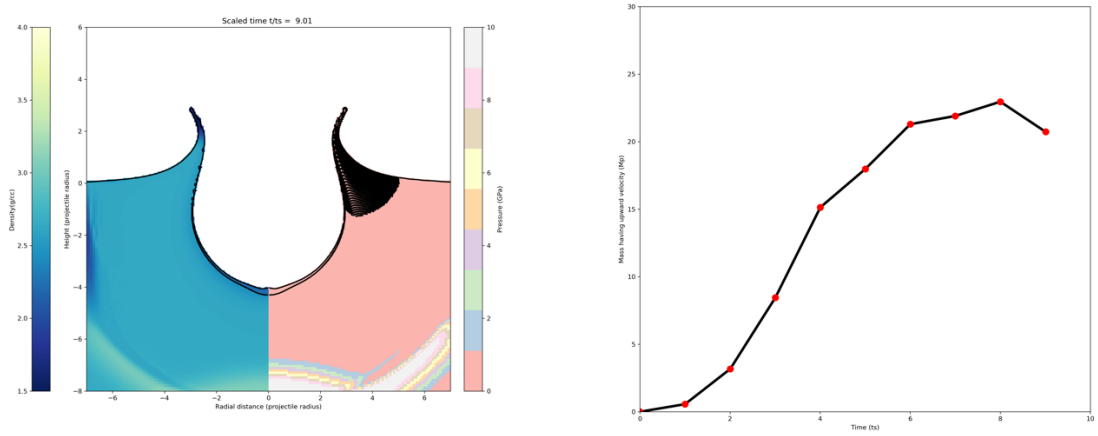
のように確保する。課題 5.2 とは異なり、各タイムステップにおけるトレーサ粒子の粒子速度を求める必要があるので、粒子速度の計算はループ内で実施する。

```
Time_in_calc.append(step.time/ts)
Tracer_mass_plus_upZ.append(sum(Tracer_mass[tracer_id])/Mp)
```

などとして計算中の時刻と求めた総質量を配列に格納する。ここで `sum` 関数を用いることで条件を満たすトレーサ粒子の質量の総和を計算している。このような簡便な書きができるのは Python を用いることの大きな長所である。ここでは時刻を貫入特徴時間、質量を衝突天体質量で規格化している。後は先程までと同様に

```
ax2.plot(Time_in_calc, Tracer_mass_plus_upZ, color='black', linestyle='solid',
linewidth = 4.0, zorder=1)
```

などとして `ax2` に描画すればよい。



のような図が作成されていれば OK である。

6. 宿題

♪~♪~♪~♪~♪~♪~♪~♪~♪実践編 第1回目 宿題♪~♪~♪~♪~♪~♪~♪

1. examples 中の例題を実行せよ.

それぞれのディレクトリ中に isale_run.sh が置かれているので、各ディレクトリまで移動し、qsub isale_run.sh で Job を投入可能である。examples/HOGE/Plotting (HOGE は各例題の名称)中に解析用 python スクリプト(拡張子.py)が格納されているので、好きなものを選択し、isale_run.sh を適切に書き換えてから Job を投入すること。

grd0 で各人が同時に走らせることができる Job 数の上限は 6 である。qstat で Job の状態を確認し、Job を投入してほしい。

作った図を自身の PC に転送したい場合は「scp」コマンドを使用する。端末を新しく立ち上げ、

```
$ scp -pr isale00@grd0.cfca.nao.ac.jp:'~/iSALE-work/[HOGE]' ./
```

もしくは

```
$ scp -pr isale00@grd0.cfca.nao.ac.jp:iSALE-work/[HOGE] ./
```

とすると、自身の PC の [HOGE] がダウンロードされる。適切にパス指定をする必要がある。ここでオプション -r をつけることでディレクトリごと再帰的に転送できる。オプション -p は転送元ファイルの更新時間やパーミッションなどの情報を維持する。また emacs や vi ではなく手元の好みのエディタでファイルを編集したときは、上記のコマンドで手元にファイルをダウンロードしたあとに編集すればよい。編集後に計算サーバへ転送するには

```
$ scp -pr ./[FILE] isale00@grd0.cfca.nao.ac.jp:~/iSALE-work/
```

とすれば, `./iSALE-work` の中に[FILE]がディレクトリ構造も含めて転送される. ここも適当にパス指定をして欲しい. なお, 自分が今いるディレクトリのパス名を調べたいときは「`pwd`」コマンドを使えばよい.

♪~♪~♪~♪~♪~♪~♪~♪~♪~♪~♪~♪実践編 第2回目 宿題♪~♪~♪~♪~♪~♪~♪

1. `HOME/share/examples/demo2D` 中の `asteroid.inp` を編集し, 衝突天体形状や速度を変えて描画せよ.

ヒント: 計算の前に

```
$ cp -r demo2D demo2D_[H0GE]
```

などとして `demo2D` を `demo2D_[H0GE]` として複製しておくとよいだろう.

♪~♪~♪~♪~♪~♪~♪~♪~♪~♪~♪~♪実践編 第3回目 宿題♪~♪~♪~♪~♪~♪~♪

1. Projectile が金属核を持つように `asteroid.inp`, `material.inp` を変更し, 計算結果を適切に描画せよ.

ヒント: `./examples/Collision2D` が参考になるであろう.

2. 標的が異なる物質の多層構造になるように `asteroid.inp`, `material.inp` を変更し, 計算結果を適切に描画せよ.

ヒント: `./examples/Chicxulub` が参考になるであろう.

3. Projectile が半球殻形状になるように `asteroid.inp` を変更し, 計算結果を適切に描画せよ. ここでははやぶさ 2 が実施した Small Carry-on Impactor による衝

突実験[Arakawa et al., 2020]を想定している。余裕があれば material.inp も適切に変更せよ。

ヒント: asteroid.inp 中で OBJMAT=VOID__と設定すると、何もない「空間」を配置できる。このとき material.inp は編集しなくてよい。真球を「空間」で「上書き」することによって SCI 衝突体のような半球殻形状を作ることができる。

♪~♪~♪~♪~♪~♪~♪~♪~♪実践編 第4回目 宿題♪~♪~♪~♪~♪~♪~♪

1. isale-work/Elementary2D/Elementary2D/SETUP フォルダに格納されている Projectile と Target の Hugoniot data を用いて衝突直下点における最大衝撃圧力を推定せよ。

ヒント: 1次元インピーダンス・マッチング法 [Melosh, 1989, pp.54–57]を用いるといい。横軸に粒子速度、縦軸に圧力を描画する。この際 Projectile の Hugoniot data の粒子速度は衝突速度からの差分とり、反転 Hugoniot 曲線を描画する。Projectile と Target の曲線の交点の Y 座標が最大衝撃圧力である。

解答例は Hugoniot_up-P-Den.py である。

なお物質を変えた場合、Hugoniot_up-P-Den.py 中の

```
hugop = np.genfromtxt('./Elementary2D/SETUP/hugoniot-proj__-granite2-aneos.txt',usecols=(0,3,7))
hugot = np.genfromtxt('./Elementary2D/SETUP/hugoniot-target _-granite2-aneos.txt',usecols=(0,3,7))
```

の行を適切に編集する(granite2 -> iron__など)必要がある。

2. 2021 年度中級課題を参考に各トレーサ粒子の初期位置における最大衝撃圧力を描画せよ。

ヒント: 時刻 0 におけるトレーサ位置座標に対して、最終時刻における TrP(トレーサが経験した最大圧力)を描画する。

7. 謝辞

iSALE の主要開発メンバである, Gareth Collins, Kai Wünnemann, Boris Ivanov, H. Jay Melosh, Dirk Elbeshausen の各氏に深謝致します. また pySALEPlot を開発した Tom Davison 氏に御礼申し上げます. 本テキストは過去の講習会及び, iSALE users group in Japan のみなさまとのやりとりで得られた知見, 過去の講習会における講習内容への参加者の反応などを元にして執筆されました. いくつかの pySALEPlot スクリプトは脇田茂氏に作成していただいたサンプルを元に作成しました. iSALE 講習会 2021 参加者用 ML は千秋博紀氏に作成して頂きました. 皆様に謝意を表します. 最後に講習会開催に向けご尽力頂いた国立天文台天文シミュレーションプロジェクトの皆様、特に受講者への事細かな対応を行っていただいた加納香織氏に感謝申し上げます.

補遺

A. ファイル転送ソフトウェア Cyberduck

CfCA の計算&解析サーバと手元の PC の間のファイル転送は scp コマンドで実行する。しかし、計算機に不慣れな読者の場合はファイル転送アプリを使用したほうが簡便であるかもしれない。ここではその 1 例として Windows, Mac ともに対応している「Cyberduck」を紹介する。

Cyberduck

<https://cyberduck.io>

以下、導入と使用手順を述べる。

1. Cyberduck を DL して、自身の PC にインストールする。

2. 国立天文台に VPN 接続する。

3. Cyberduck を立ち上げ、

接続方法: SFTP 接続

サーバ: <grdo.cfca.nao.ac.jp>

ユーザ名: isaleXX [XX は自身の講習会 ID に変更]

パスワード: NIS パスワード

ポート番号: 22

と入力し、「接続」をクリック。

以上で、自身の PC 上でファイルやディレクトリをマウスポインタでつまんでやり取りするのと同じ感覚でファイル転送を行うことができる。

B. Python 用対話型開発環境 JupyterLab

JupyterLab はブラウザ内でスクリプトの編集, 実行, 描画を全て行うことができる Python 用対話型開発環境のことである. 読み込んだ module 類の機能を tab 補間で探すことができ, 開発に適している. 中級課題では講師が JupyterLab を使用して実演するので, 各自で環境を整えておくこと. 以下に環境整備の手順を述べる.

1. 国立天文台に VPN 接続する.
2. 以下のコマンドで「解析サーバ」にログインする.

```
$ ssh -L 9XXY:localhost:9XXY isaleXX@an00.cfca.nao.ac.jp
```

or

```
$ ssh -L 9XXY:localhost:9XXY isaleXX@an01.cfca.nao.ac.jp
```

ここで XX は自分の講習会 ID, Y は 0 から 9 までの任意の数字である.

3. 解析サーバにログイン後、以下を打ち込み、実行

```
$ module load intel anaconda/2
```

4. 以下のコマンドを実行し、JupyterLab を起動

```
$ jupyter lab --no-browser --port=9XXY
```

ここで 9XXY は手順 2 の ssh コマンドで使用した番号と合わせること.

5. 表示される以下のコメントに続く URL をブラウザ(Google Chrome を推奨)に貼り付ける.

Copy/paste this URL into your browser when you connect for the first time,

to login with a token:

<http://localhost:9XXY/?token=6c17bcfd5c6169f371ccb28cf9a25e924dd29e8d945bd4>

c2

図 A1 のような画面が表示されれば JupyterLab が正常に起動している。

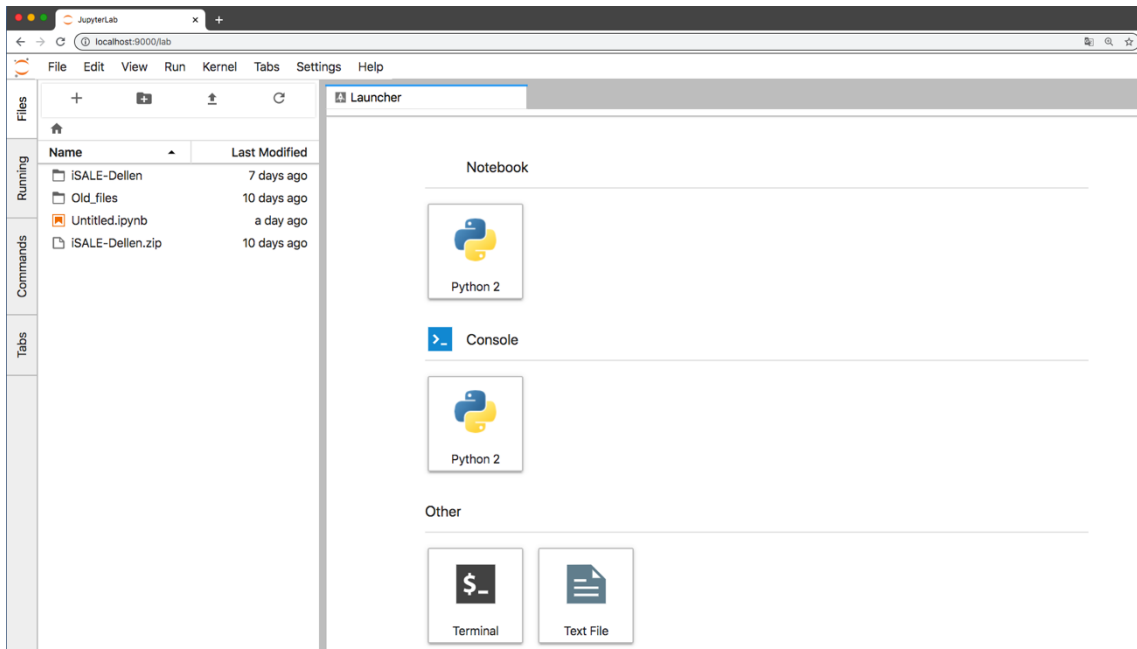


図 A1. JupyterLab の起動画面。このような画面が現れれば正常に起動している。
このような画面が現れない場合は原因を追求し、解決すること。

以下、よくある 2つのトラブルとその解決方法を述べる。

- a. URL で表示される番号(localhost:9XXY)が ssh の時の番号と異なっている。
一度解析サーバからログアウトして、表示された番号を使って再度 ssh(手順 2 に戻る)する。ssh の番号と URL の番号が一致するまで繰り返す。例えば 9XXY = 9000 のときに localhost:9001 などと表示された場合は一度解析サーバからログアウト(exit コマンド)し、

```
$ ssh -L 9001:localhost:9001 isaleXX@an00.cfca.nao.ac.jp
$ module load anaconda/2 intel
$ jupyter lab --no-browser --port=9001
```

とする。

- b. ブラウザでうまく表示されなかった場合,
 - ssh で使用した番号と URL の番号が一致しているか確認する.
 - ブラウザを変えてみる(Safari や Edge).
 - プライベートモードで試してみる.

上記でうまくいかない場合, 手順 4 で以下のコマンドを実行してみよう.

```
$ jupyter notebook --no-browser --port=9XXY
```

JupyterLab ではなくその 1 世代前の Jupyter Notebook が起動する. Tab 補完などの機能は同様に使用することができる.

以上でうまくいかない場合は ML, もしくは Slack にて講師に連絡すること. その際, 自身で打ち込んだコマンドとエラーメッセージをそのままコピペして付すこと.

参考になる websites

CfCA HP

<https://www.cfca.nao.ac.jp>

CfCA 共同利用計算機の利用資格・利用申請資格

<https://www.cfca.nao.ac.jp/node/2>

iSALe HP(本家)

<https://isale-code.github.io>

iSALe users group in Japan wiki

<https://www.wakusei.jp/~impact/wiki/iSALe/>

pySALEPlot manual(再掲)

http://isale-code.de/redmine/projects/isale/wiki/PySALEPlot_manual

計算サーバの詳細、及び利用規約(再掲)

<https://www.cfca.nao.ac.jp/node/165#regulation>

解析サーバの詳細、及び利用規約(再掲)

<https://www.cfca.nao.ac.jp/node/22#policy>

参考文献

- Amsden, A.A., Ruppel, H.M., Hirt, C.W., 1980. A simplified ALE computer program for fluid flow at all speeds. *Los Alamos National Laboratories Report LA-8095*. Los Alamos, New Mexico. 101 pp.
- Collins, G.S., 2014. Numerical simulations of impact crater formation with dilatancy. *Journal of Geophysical Research - Planets* **119**, 2600–2619.
- Collins, G.S., Elbeshausen, D., Davison, T.M., Wünnemann, K., Ivanov, B., Melosh, H.J., 2016. iSALE-Dellen manual. *figshare*, <https://doi.org/10.6084/m9.figshare.3473690.v2>.
- Collins, G.S., Patel, N., Davison, T.M., Rae, A.S.P., Morgan, J.V., Gulick, S.P.S., IODP-ICDP Expedition 364 Science Party, 2020. A steeply-inclined trajectory for the Chicxulub impact. *Nature Communications* **11**:1480, <https://doi.org/10.1038/s41467-020-15269-x>
- Davison, T.M., Derrick, J.G., Collins, G.S., Bland, P.A., Rutherford, M.E., Chapman, D.J., Eakins, D.E., 2017. Impact-induced compaction of primitive solar system solid: The need for mesoscale modelling and experiments. *Procedia Engineering* **204**, 405–412, [10.1016/j.proeng.2017.09.801](https://doi.org/10.1016/j.proeng.2017.09.801)
- Güldemeister, N., Wünnemann, K., Durr, N., Hiermaier, S., 2013. Propagation of impact-induced shock waves in porous sandstone using mesoscale modeling. *Meteoritics & Planetary Science*, **48**(1): 115–133.
- Holsapple, K.A., Schmidt, R.M., 1982. On the scaling of crater dimensions: 2. impact processes. *J. Geophys. Res.* **87**, 1849–1870. <https://doi.org/10.1029/JB087iB03p01849>.
- Ivanov, B.A., de Niem, D., Neukum, G., 1997. Implementation of dynamic strength models into 2D hydrocodes: application for atmospheric break-up and impact cratering. *Int. J. Impact Eng.* **17**, 375–386.

Melosh, H. J. 1979. Acoustic fluidization: A new geologic process? *J. Geophys. Res.* **84**, 7513–7520.

Melosh, H.J., 1989. *Impact Cratering — A Geologic Process*. Oxford University Press, New York, pp. 112–125. Chap. VII.

Schulte, P. et al. The Chicxulub asteroid impact and mass extinction at the Cretaceous-Paleogene boundary. *Science* **327**, 1214–1218 (2010).

Suzuki, A.I., et al., 2012. Laboratory experiments on crater scaling-law for sedimentary rocks in the strength regime. *J. Geophys. Res.* **117**, E08012. <https://doi.org/10.1029/2012JE004064>.

Wünnemann, K., Collins, G.S., Melosh, H.J., 2006. A strain-based porosity model for use in hydrocode simulations of impacts and implications for transient crater growth in porous targets. *Icarus* **180**, 514–527.